

DIPLOMOVÝ ÚKOL

pro

Dagmar Oberreiterovou

odbor

08-1-01 technologie textilu, kůže, gumy a plastických hmot

Protože jste splnil(a) požadavky učebního plánu, zadává Vám vedoucí katedry ve smyslu směrnic ministerstva školství a kultury o státních závěrečných zkouškách tento diplomový úkol:

Název tématu: Zjištování koeficientů rozdělení vlákenného materiálu u válcového mykacího stroje

Pokyny pro vypracování:

- 1) Zdůvodněte význam zjištování koeficientů rozdělení vlákenného materiálu pro hodnocení směsovací schopnosti válcového mykacího stroje.
- 2) Provedte zhodnocení publikovaných metod zjištování koeficientu rozdělení u válcového mykacího stroje.
- 3) Navrhněte optimální metodu zjištování koeficientů rozdělení a laboratorně tuto metodu ověřte v závislosti na měnicích se parametrych mykacího stroje.

Autorská právo se řídí směrnicemi MŠK pro státní závěrečné zkoušky č. 1/31/727/62-III/2 ze dne 13. července 1962-Věstník MŠK XIII, sešit 24 ze dne 31.8.1962 § 19 autorského zákona č. 115/53 Sb.

VYSOKÁ ŠKOLA STROJNÍ A TEXTILNÍ
Ústřední knihovna
LIBEREC 1, STUDEŇSKÁ 5

V 48/71

Rozsah grafických laboratorních prací:

Rozsah průvodní zprávy:

Seznam odborné literatury: Prof.Ing. J. Simon : Teorie předělení I
Prof.Ing. J. Simon : Sprádání vlny a chem. vláken II

Vedoucí diplomové práce: Prof.Ing. Jaroslav Simon

Konsultanti: Ing. Petr Ursíny

Datum zahájení diplomové práce: 19.10.1970

Datum odevzdání diplomové práce: 30. 6.1971



Simon
Prof.Ing. Jaroslav Simon
Vedoucí katedry

Simon
Prof.Ing. Jaroslav Simon
Dekan

Dagmar OBERREITEROVÁ

Vysoká škola strojní a textilní v Liberci,
fakulta textilní

Ročník 1971

Specializace: Předení -
textilní materiály

Vedoucí diplomové práce:

Prof. Ing. Jaroslav Simon

Konzultant:

Ing. Petr Ursíny

Obsah

	strana
Zadání diplomové práce	2
Místopřísežné prohlášení	3
Obsah	4
I. Úvod	5
II. Teoretická část	6
1. Mísení vlákenných materiálů při mykání na vélcovém myk. stroji	6
2. Zatížení povlaků mykacího stoje	9
3. Rozdělení vlákenného materiálu	15
4. Stanovení pravděpodobnosti přechodu vláken mezi jednotlivými pracovními orgány mykacího stroje	20
III. Experimentální část	30
1. Provedení experimentu	30
2. Výpočet střední doby průchodu vlá- ken myk. strojem - \bar{t} - z experimentu	35
3. Výpočet pravděpodobnosti přechodu vláken	39
IV. Zhodnocení a závěr	55
Seznam použité literatury	57
Přílohy 1 - 27	

Místopřísežné prohlášení

Místopřísežně prohlašuji, že předloženou diplomovou
práci jsem vypracovala samostatně s použitím uvede-
né literatury.

v Liberci 21.6.1971

Dagmar Horšíková

I. Úvod

Mykání je velmi důležitý pracovní pochod, na kterém závisí konečná kvalita příze. Účelem mykání je rozvkláknit vlákenný materiál na jednotlivá vlákna, urovnat je do rovnoběžné polohy a vytvořit z nich stejnoměrnou tenkou vrstvu - pavučinu. Ta se buď přemění v pramen, nebo se dělí na pásky, zaobluje a zhušťuje v přest. Při mykání dochází k odstraňování jemných nečistot,rostlinných příměsků, využívají se krátká a vadná vlákna.

Na mykacích strojích dochází i k intenzivnímu promísení jednotlivých vláken, což je důležité hlavně při mykání melanží. Tento pochod je však teoreticky velmi málo propracován.

Problémy při uplatnění teoretických poznatků do praxe způsobuje také zastaralost strojového parku. Stroje bývají často bez možnosti regulace rychlostí otáčení hlavních částí.

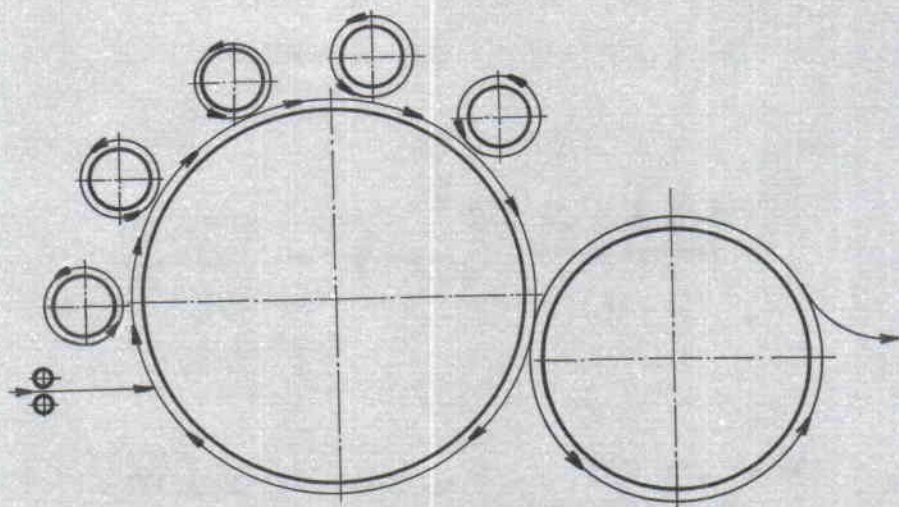
II. T E O R E T I C K Á Č Á S T

1. Mísení vlákkenných materiálů při mykání na válcovém mykacím stroji

Na válcovém mykacím stroji se dosáhne hlavního propracování materiálu mezi tamburem a pracovními válci, které spolupracují též s válci čistícími. Propracování spočívá v osamocení, urovnání a usměrnění vláken i v jejich účinném promísení.

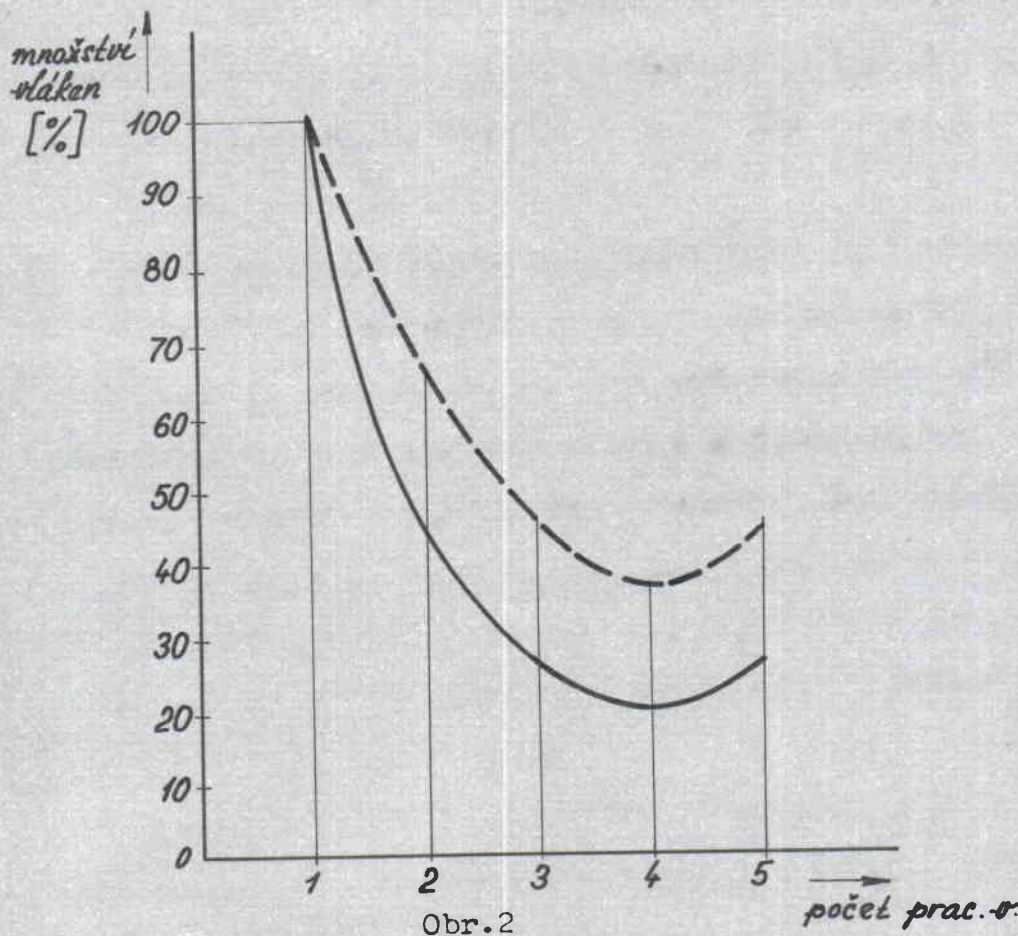
Při průchodu materiálu strojem může část vlákkenného materiálu oběhnout přes všechny pracovní válce, jiná opět zůstane jen na tamburu. Část materiálu může obíhat mnohokrát kolem pracovních válců i s tamburem. Obr. 1 ukazuje možnost různých cest zpracovávaného materiálu v mykacím stroji. V každém případě se spojuje více proudu vláken. To odpovídá družení při jiných přadních procesech a vysvětluje také intensivní vnitřní mísení vláken během mykání.

Podle Townenda se nachází na 2. pracovním válci jen 61 - 74%, na 3. a 4. pracovním válci jen asi 48 - 70%



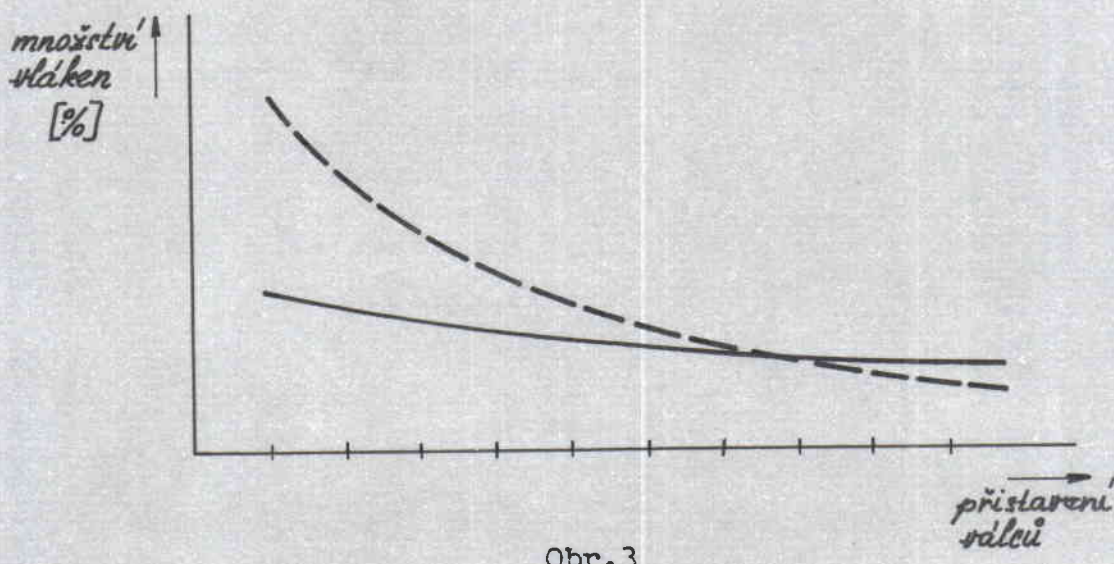
Obr.1

množství vláken, nacházejících se na prvním pracovním válci /obr.2/.



Obr.2

Dále bylo stanoveno, že se množství vláken mění podle vzdálenosti pracovního válce od tamburu /obr.3/.



Obr.3

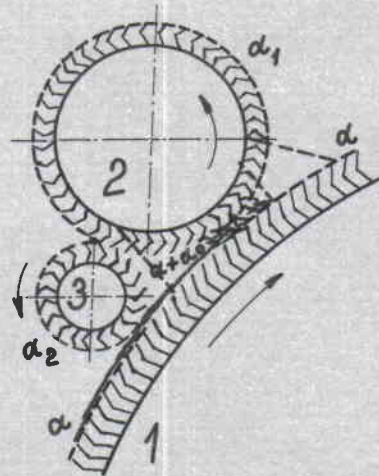
Rovněž má vliv na množství přijatých vláken i změna obvodové rychlosti pracovních válců. Při zvýšení rychlosti se množství přijatých vláken zmenší.

Převzaté množství vláken však závisí i na druhu povlaků, t. j. počtu jehel na jednotku plochy a poměru celkové plochy průřezu drátků k ploše povlaku.

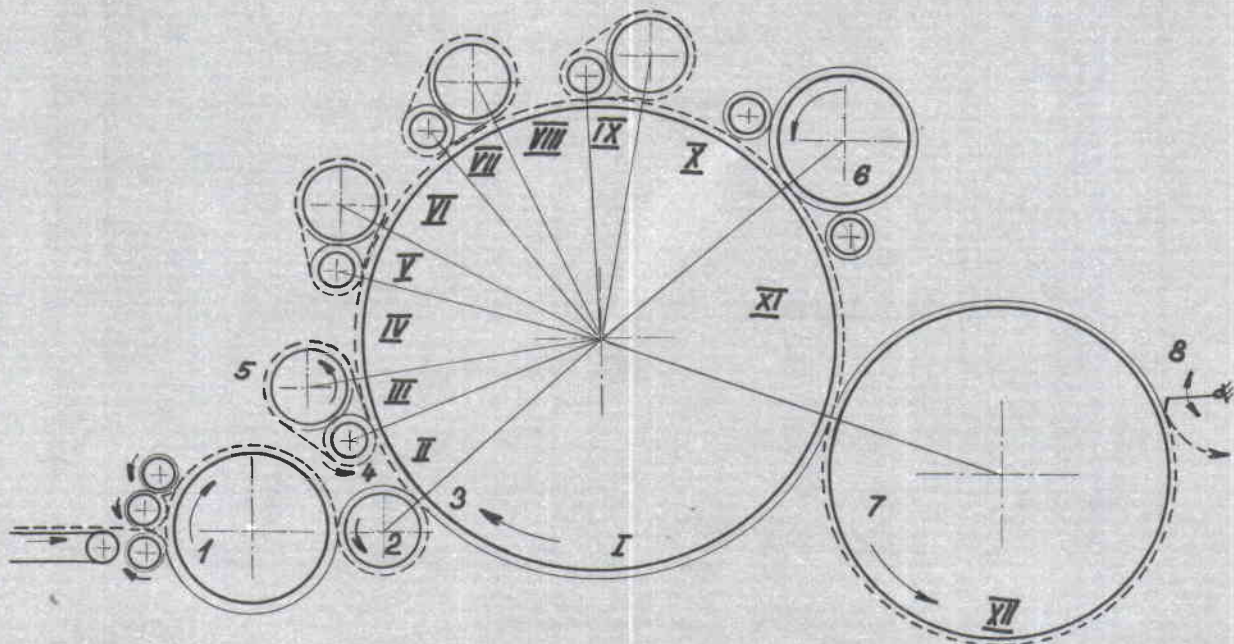
2. Zatížení povlaků mykacího stroje

Rovnovážného stavu co do množství materiálu na pracovních orgánech mykacího stroje se dosáhne při ustálené činnosti mykacího stroje a při rovnoměrném podávání vlákenného materiálu. Množství materiálu je charakterováno zatížením mykacího povlaku pracovních orgánů, které se vyjadřuje v g/m^2 .

Materiál po přechodu na mykací povlak tamburu 1 /obr.4/ zaujme vrstvu, která má váhu $a \text{ g}/\text{m}^2$. Ta je unášena k obraceči 3 a k pracovnímu válci 2. Vrstva vláken prochází pod obracečem a jehly tamburu snímají s obracečem 3 vlákna, která se ukládají jako dodatečná vrstva



Obr.4



Obr.5

o výze $\alpha_0 \text{ g/m}^2$. Tambur pak přináší k pracovnímu válci vrstvu $\alpha + \alpha_0 \text{ g/m}^2$.

Zatížení povlaků však je rozdílné nejen u jednotlivých pracovních částí mykacího stroje, ale i v jednotlivých pracovních zónách. Rozdělíme-li povrch tamburu na jednotlivá pracovní pásma /obr.5/, bude v zóně I zatížení:

$$\alpha_I = \alpha_u + \alpha_v$$

kde:

α_u - množství materiálu usazené v povlaku v g/m^2

α_v - vratné zatížení, t. j. zatížení v g/m^2 , které zůstalo na tamburu.

V pracovním styku tamburu s rozvolňovacím válcem nebo přenášecím válcem 2 /obr.5/ dojde k zatížení v důsledku podání α_p , a proto v zóně II bude zatížení:

$$\alpha_{II} = \alpha_u + \alpha_v + \alpha_p$$

Na linii vzájemného působení tamburu 3 a obraceče 4 bude na tamburu zatížení materiélem, který předá obraceč z pracovního válce prvého mykacího páru - α_0 . V zóně III bude zatížení:

$$\alpha_{\text{III}} = \alpha_u + \alpha_v + \alpha_p + \alpha_0$$

V pásmu mykání nastává zhuštění a míchání tří proudu vláken: vratných, podávaných a od obraceče. Vlákna usazená v povlaku tvoří vrstvu, které se nesmichává s uvedenými třemi vrstvami. Z toho vyplývá, že uváděná vrstva $\alpha = \alpha_u + \alpha_p$. Vlivem plynulého spojování a promíchávání vláken, v každé zóně mykání, tří vrstev vláken vytváří se pohyblivá vrstva. Cirkulací vlákkenného materiálu se snižuje místní nestejnoměrnost produktu na krátkých úsečkách.

Rychlosť otáčení tamburu, pracovního válce a obraceče je rovnoměrná, ztráty vláken lze zanedbat. Potom váha vláken přecházejících z 1 m^2 povrchu tamburu na pracovní válec bude rovna váze vláken přecházejících z pracovního válce pomocí obraceče na 1 m^2 tamburu.

Zóna IV má pak zatížení stejné jako α_{II} , avšak v různém složení vláken:

$$\alpha_{\text{IV}} = \alpha_u + \alpha_v + \alpha_p + \alpha_0 - \alpha_0 = \alpha_{\text{II}}$$

Podobně tomu bude i v zónách VI, VIII, X a rovněž mezi posledním párem pracovních válců a snímačem, tj. zatížení tamburu je rovno:

$$\alpha_{\text{X}} = \alpha_u + \alpha_v + \alpha_p$$

V zónách III, V, VII, IX je zatížení větší o hodnotu α_0 tedy:

$$\alpha_{\text{III}} = \alpha_u + \alpha_v + \alpha_p + \alpha_0$$

Průměrné hodnoty zatížení bývají:

$$\alpha_u = 120 - 360 \text{ g/m}^2$$

$$\alpha_v = 3,0 - 26 \text{ g/m}^2$$

$$\alpha_p = 0,3 - 1,2 \text{ g/m}^2$$

$$\alpha_s = 0,1 - 0,5 \text{ g/m}^2$$

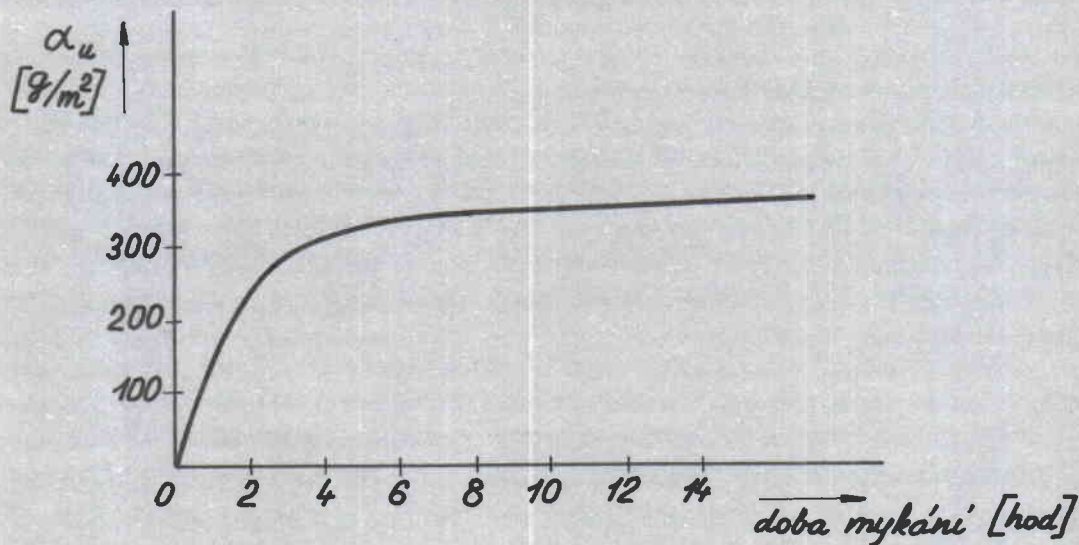
Celkové zatížení $\alpha = 120 - 380 \text{ g/m}^2$.

Zatížení tamburu usazením v povlaku se podle zpracování mykacího stroje mění s dobou mykání /obr.6/.

Z počátku se mykací povlak zaplňuje rychle, pak po nasycení se zaplňování zpomaluje. Ustáleného poměru se dosahuje po 3 - 4 hodinách práce.

Výčistky z mykacího povlaku se sestávají ze dvou vrstev. Spodní vrstva, která se vytváří během 3 - 4 hodin práce, se skládá z čistých vláken, vrchní vrstva, vytvářená v další době, obsahuje příměs-ky a krátká vlákna. Za určitou dobu práce je nutno povlaky stroje vyčistit.

Zatížení usazením vláken závisí na druhu přední směsi a její přípravě. Lze jej snadno zjistit zvážením výčisku z jednotlivých pracovních orgánů.



Obr.6

Velikost vratného zatížení závisí na druhu vláken, stavu a usazení mykacích povlaků a na poměru rychlostí tamburu a snímače.

V každém jednotlivém případě lze stanovit vratné zatížení experimentálně. Postupuje se takto: zastaví se stroj, sejmou se pracovní válce a obraceče, vypne se podávání a sejmou se pavučina ze snímače. Pak se stroj spustí. Během několika otéček předává tambur ze svého povrchu vlákna na povrch snímače. Poměr $\frac{em}{váhy}$ sejmoutých vláken z tamburu k povrchu tamburu v m^2 , se zjistí vratné zatížení v g/m^2 .

Další důležitou pracovní veličinou je zatížení mykacího povlaku tamburu podáváním. Hodnota zatížení se normuje podle zpracovávaných materiálů a jakosti mykání. Pro vlnu bývá podle jakosti zatížení $0,50 - 0,80 g/m^2$.

Hodnota zatížení tamburu je v jednotlivých případech dána vztahem:

$$\alpha_p = \frac{v_s \cdot G}{v_b \cdot B} \quad /1/$$

$$\alpha_p = \frac{q \cdot k \cdot \eta}{v_b \cdot B}$$

kde:

v_s - rychlosť odvádění ze stroje v m/min

G - váha pavučiny v g/m

v_b - obvodová rychlosť tamburu v m/min

B - pracovní šířka tamburu v m

q - váha dávek automaticky odvažovaných v g

k - počet dávek za min

η - využití materiálu mykáním

Z normovaného zatížení tamburu pro zjištění dobré jakosti mykání dané směsi, lze z rovnice /1/ stanovit výrobnost mykacího stroje za minutu:

$$G \cdot v_s = \alpha_p \cdot v_b \cdot B$$

Zatížení předávané na tambur obracečem / α_o / lze vyjádřit pomocí zatížení pracovního válce

$$\alpha_o \cdot v_b = v_m \cdot \beta$$

v_m - obvodová rychlosť pracovního válce v m/min

β - zatížení pracovního válce v g/m²

Pak

$$\alpha_o = \frac{\beta \cdot v_m}{v_b} \quad /2/$$

Velikost zatížení β lze stanovit experimentálně.

Po zastavení stroje sejmeme z pracovního válce vlákenný materiál. Jeho váha v g se dělí povrchem povlaku pracovního válce v m².

3. Rozdělení vlákenného materiálu

Mezi tamburem a pracovními válci je rozdělení vlákenného materiálu charakterisováno koeficientem rozdělení. Koeficient rozdělení vyjadřuje, jaká část vlákenného materiálu přechází z 1 m^2 povrchu tamburu na pracovní válec. Jestliže se k pracovnímu válci přivádí tamburem zatížení $\alpha_v + \alpha_p + \alpha_o / \text{g/m}^2$, a pracovní válec přejímá z tamburu zatížení $\alpha_o / \text{g/m}^2$, je koeficient rozdělení mezi tamburem a pracovním válcem dán vztahem:

$$K_r = \frac{\alpha_o}{\alpha_v + \alpha_p + \alpha_o} \quad /3/$$

po dosazení za $\alpha_o = z/2$ dostaneme:

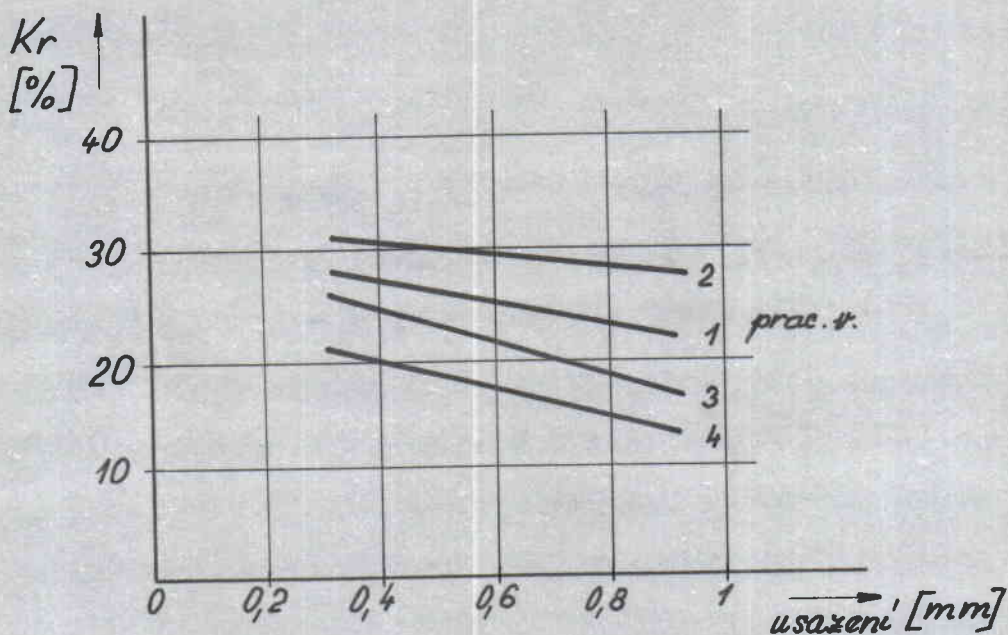
$$K_r = \frac{\beta \cdot v_m}{v_b / \alpha_v + \alpha_p + \frac{\beta \cdot v_m}{v_b}}$$

a po vynásobení pracovní šířkou:

$$K_r = \frac{\beta \cdot v_m \cdot B}{\alpha_v \cdot v_b + \alpha_p \cdot v_b + \beta \cdot v_m / B}$$

Koeficient rozdělení mezi tamburem a pracovním válcem je dán poměrem váhy vláken / převzatých povlakem pracovního válce v zóně mykání za jednotku doby/ k váze vláken přivedených tamburem do zóny mykání za stejnou dobu. Koeficient rozdělení mezi tamburem a pracovním vál-

čem charakterisuje zachycovací schopnost pracovního válce. Čím větší bude koeficient rozdělení /Kr/, tím větší



Obr. 7

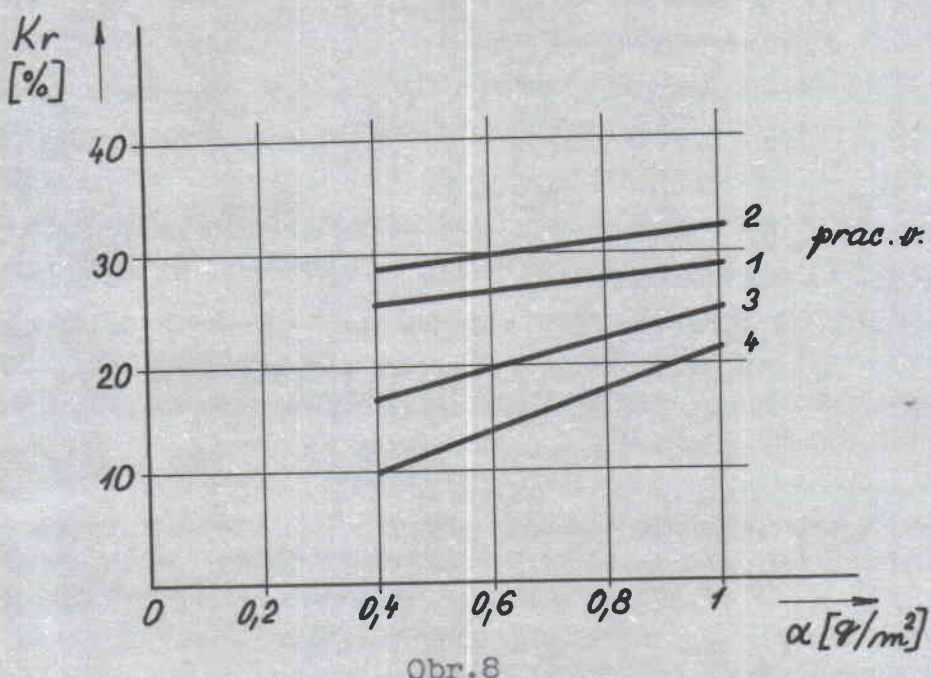
bude zachycovací schopnost pracovního válce a tím větší směšovací účinek mykacího stroje.

Hodnota koeficientů rozdělení závisí na mnoha faktorech. Výsledky praktických zkoušek ukazují, že poměr mezi přírustkem obvodové rychlosti pracovních válců a přírustkem koeficientu rozdělení je veličina proměnná. Zkoušky ukázaly, že při zmenšení vzdálenosti pracovních válců od tamburu vzrůstá koeficient rozdělení /obr. 7/.

Pro praxi to znamená, že postupné mykání vyžaduje bližší usazení pracovních válců k tamburu ve směru postupu materiálu. Při zmenšení usazení pracovního válce se o něco zvětší prostor aktivního mykání.

Změna koeficientu rozdělení nastává i při změně váhy

vláken α , která se nachází na 1 m^2 povlaku tamburu. Se zvětšovéním zatížení tamburu materiálem vzrůstá koefi-



Obr.8

cient rozdělení /obr.8/, ale jen tehdy, jestliže mezery mezi jehlami pracovních válců nejsou přesyceny vlákny.

Zvětšování koeficientu rozdělení při vzrůstu α se vysvětluje tím, že vlákna, která jsou zachycena jehlami pracovních válců, unášeji s sebou i část vláken, která dosud nepřišla do styku s jehlami pracovních válců.

Značný růst koeficientu rozdělení při zvětšování zatížení tamburu lze pozorovat tehdy, když jehly pracovních válců mají větší obvodovou rychlosť. Se zvětšováním počtu jehel na povrchu pracovních válců /tj. zvýšení čísla mykacího povlaku/ se koeficient rozdělení zvětšuje. Se zmenšováním sklonu jehel vzhledem k horizontále velikost koeficientu rozdělení vzrůstá. Na velikost koeficientu rozdělení mají vliv i jiné faktory jako je délka

vláken, jejich zkadeření atd.

Změnou faktorů působících na velikost koeficientu rozdělení můžeme vyrovnat jeho účinek pro mykací povlaky tamburu a všech pracovních válců. Toto vyrovnávání má zvětšovat koeficient rozdělení kvůli získání stejnorodějšího produktu co do vzhledu, obsahu i rozdělení vláken, pevnosti, tažnosti i čísla. Velikost koeficientu rozdělení se mění v mezích 0,012 - 0,070.

Koeficient rozdělení mezi hlavním bubenem a snímačem /Ks/ je stejného charakteru jako Kr. Je dán vztahem:

$$K_s = \frac{\alpha_o}{\alpha_v + \alpha_p} \quad /4/$$

Dosazením za α_o a vynásobením pracovní šírkou dostaneme

$$K_s = \frac{\beta_s \cdot v_s \cdot B}{\alpha_v \cdot v_b + \alpha_p \cdot v_b \cdot B}$$

kde:

β_s - zatížení povlaku snímacího válce v g/m^2

v_s - obvodová rychlosť snímacího válce v m/min

Při ustáleném stavu stroje můžeme počítat, že

$$\beta_s \cdot v_s \cdot B = \alpha_p \cdot v_b \cdot B = G \cdot v_s$$

kde:

G - váha výsledného produktu v g/m^2

v_s - rychlosť odvádění produktu v m/min

Gv_s - výrobnost stroje v g/min

Pro Ks pak po dosazení do /4/ dostaneme:

$$K_s = \frac{G \cdot v_s}{\alpha_v \cdot v_b \cdot B + Gv_s}$$

Tento koeficient se pohybuje v mezích 0,07 - 0,075.

Malá hodnota K_s způsobuje poměrně velké vratné zatížení tamburu. To zhoršuje jakost pročesávání vláken, což ohraničuje výrobnost stroje. Aby se dosáhlo větší výrobnosti, je nutno zvýšit K_s udržováním mykacího povlaku snímače v dobrém pracovním stavu a těsnějším usazením k tamburu. K_s se dá také zvýšit snížením počtu otáček tamburu.

K posouzení intenzity propracování vlákenného materiálu je nutné znát počet vzájemně pracujících jehel obou uvažovaných povlaků při zpracování 1g vláken. Tato veličina se nazývá koeficient možného působení K_{mp} .

$$K_{mp} = \frac{I_r / v_s - v_p}{\alpha \cdot v_s} / I_{II}$$

kde:

I_r - počet jehel v jedné řadě mykacího povlaku

I_{II} - počet jehel v jedné řadě pracovního povlaku

Celkový počet stykových míst jehel tamburu s jehlami pracovního válce za 1 s na šířce 1m:

$$I_r / v_s - v_p / I_{II}$$

Tambur přinese do prostoru mykání za časovou jednotku množství materiálu: $\alpha \cdot v_s$

Jako další ukazatel při mykání byl vzat koeficient převzetí K_p vlákenného materiálu mykacím povlakem pracovního válce z tamburu

$$K_p = \frac{I'_{II}}{\beta}$$

kde:

I'_{II} - množství jehel na $1m^2$ povrchu pracovního válce

β - váha materiálu, který je rozložen na $1m^2$ povrchu pracovního válce.

4. Stanovení pravděpodobnosti přechodu vláken
mezi jednotlivými pracovními orgány
mykacího stroje.

Zkoumáním procesu míšení na válcovém mykacím stroji se zabývá několik odborníků. Patří mezi ně Oeser, Kanárský, Emanuel, Monfort a další.

Oeser se zabýval procesem míšení jako hlavním úkolem mykacího stroje. Domnívá se, že míšení před mykéním je rozhodujícím, protože připravuje proces mykání.

Kanárský vyšetřil podrobně proces míšení vláknin a stanovil, že vlákna při přechodu na tambur vytvářejí vrstvu $\alpha /g/m^2$. Tato vrstva se dostává k obraceči. Během procesu je k ní přidávána vrstva $\beta /g/m^2$. Obě vrstvy jsou přivedeny mezi tambur a pracovní válec do místa mykání. Kanárský zavádí vztah

$$Kr = \frac{\beta}{\alpha + \beta}$$

kde Kr značí koeficient rozdělení.

Podle Kanárského dochází k promíšení položením vrstvy α na vrstvu β .

Emanuel odmítá názor o dvou vrstvách α a β . Podle jeho teorie lze na potahu tamburu nalézt za snímačem ještě jednu významnou část, kterou snímač nepřevzal. Proto dochází k závěru, že při stabilisovaném procesu se materiál skládá z vrstvy zbylé na tamburu po sejmoutí snímačem a

z vrstvy nově dodané.K promíšení dochází spojením obou vrstev.

Teorie těchto odborníků však nelze prakticky využít. Jejich aplikace je velmi obtížná,i když vyjasňují značně problematiku míšení.

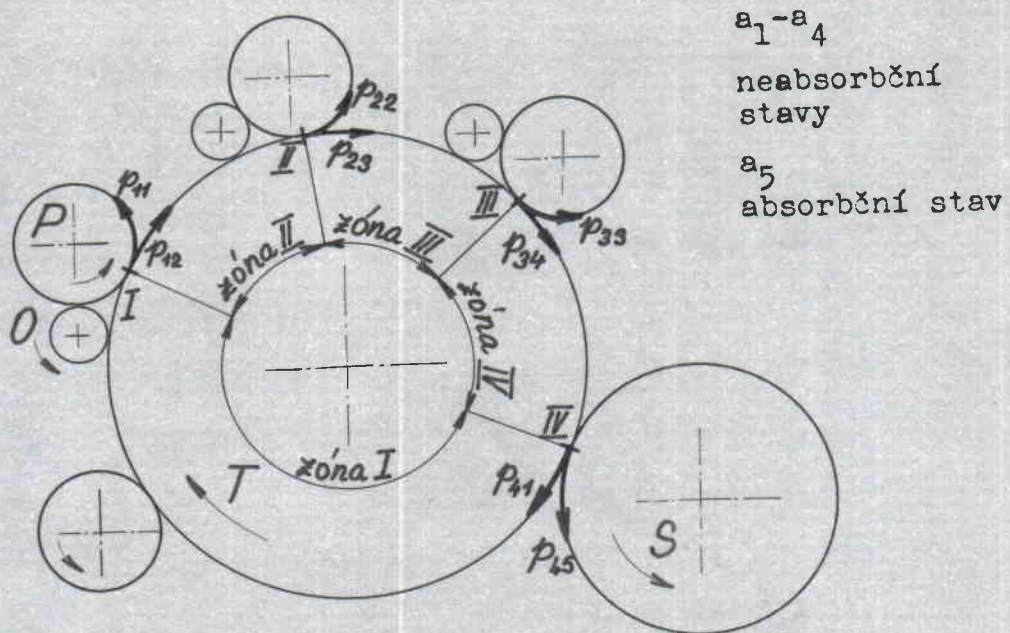
Belgický odborník F.Monfort zjistil,že přechod vláken mezi jednotlivými orgány mykacího stroje odpovídá matematické teorii Markovských řetězců./Viz liter.č.3/ Tato teorie vychází ze serie nahodilých pokusů,kde každý má konečný počet výsledků,z nichž se uskuteční pouze jeden.Každému z těchto výsledků odpovídá obecně pravděpodobnost,jež závisí pouze na výsledku předchozího pokusu.Jestliže se uvažuje konečný počet stavů,tak přechod ze stavu i do stavu j je charakterisován pravděpodobností přechodu p_{ij} ,jejíž hodnota závisí pouze na stavu i, a ne na předchozích stavech.

Celkový systém hodnot může být reprodukován např. čtvercovou maticí zvanou stochastická.Tato matice se skládá z řadových vektorů,jejichž suma je rovna 1.

V této práci budeme aplikovat absorbční Markovovy řady.Stav přechodu vláken je absorbční,jestliže vlákna nemohou opustit stav již jednou dosažený.

Vlákno je přivedeno na tambur prostřednictvím podávacích válečků.Jeho dráha je ve směru hodinových ručiček a body mykání jsou označeny I - IV./obr.9/

Vlákno může být buď sejmuto snímacím válcem,nebo může zůstat na tamburu.Vlákno,které přichází do myka-



Obr.9

cích bodů I - III může buď pokračovat po tamburu nebo může být zachyceno pracovním válcem, a pak sleduje dráhu pracovní válec - obraceč.

Nechť proces začíná z neabsorbčního stavu \underline{a}_i . Problem spočívá v tom, kolikrát lze očekávat, že projde vlákno neabsorbčními stavy \underline{a}_j . Označíme tento počet n_{ij} . Ze stavu \underline{a}_i proces přechází do stavu \underline{a}_k s pravděpodobností P_{ik} . Jestliže \underline{a}_k je absorbční stav, tak se proces už nikdy nevrátí do stavu \underline{a}_j . Jestliže \underline{a}_k je neabsorbční stav, tak proces projde stavem \underline{a}_j průměrně n_{kj} krát. Pro všechny neabsorbční stavy \underline{a}_k bereme $\sum_k P_{ik} \cdot n_{kj}$. Jestliže $i = j$, tak musíme přičíst také konečný stav \underline{a}_j , tzn. přičíst k našemu součtu 1. Pak pro neabsorbční stavy \underline{a}_i a \underline{a}_j platí:

$$n_{ij} = p_{i1} n_{1j} + \dots + p_{in-m} n_{(m-m)j} / +1 \text{ pro } i=j/$$

Sumace se provádí přes všechny neabsorbční stavy.

Tento systém rovnic zapisujeme v podobě maticové

rovnice. Za tím účelem vytváříme matici \underline{Q} , získanou z matice \underline{P} , tím že se vyškrtnou všechny řádky a sloupky odpovídající absorbčním stavům. Jestliže je počet absorbčních stavů m , bude mít matici \underline{Q} velikost $[n-m \times n-m]$.

P - stochastická matice

	p_{11}	p_{12}			
		p_{22}	p_{23}		
			p_{33}	p_{34}	
$P =$	p_{41}			p_{45}	
					$p_{55} = 1$

	p_{11}	p_{12}		
$Q =$		p_{22}	p_{23}	
			p_{33}	p_{34}
	p_{41}			

Nevyplněné hodnoty jsou rovny 0.

Střední počet průchodů vláken n_{ij} je sestaven do matice \underline{N} .

Elementy n_{ij} matice \underline{N} jsou určeny pouze pro neabsorbční

stavy a_i, a_j . Matice \underline{N} bude mít pořádek jako matice \underline{Q} .

Jestliže $i=j$, tak je nutno přidat 1, tzn. odpovídající komponenty jednotkové matice.

Maticová rovnice má pak tvar:

$$N = Q \cdot N + I \quad /5/$$

Přepíšeme ji do tvaru:

$$I = N - QN = N / I - Q /$$

po úpravě bychom dostali:

$$N = / I - Q /^{-1} \quad /6/$$

Elementy n_{ij} matice N nám ukazují střední počet průchodů neabsorbčními stavů a_j , když výchozí stav je a_i .

Po vyčíslení by matice N měla tvar:

$\frac{1}{P_{12} \cdot P_{45}}$	$\frac{1}{P_{22} \cdot P_{45}}$	$\frac{1}{P_{32} \cdot P_{45}}$	$\frac{1}{P_{45}}$
$\frac{P_{41}}{P_{12} \cdot P_{45}}$	$\frac{1}{P_{23} \cdot P_{45}}$	$\frac{1}{P_{34} \cdot P_{45}}$	$\frac{1}{P_{45}}$
$\frac{P_{41}}{P_{12} \cdot P_{45}}$	$\frac{P_{41}}{P_{23} \cdot P_{45}}$	$\frac{1}{P_{34} \cdot P_{45}}$	$\frac{1}{P_{45}}$
$\frac{P_{41}}{P_{12} \cdot P_{45}}$	$\frac{P_{41}}{P_{23} \cdot P_{45}}$	$\frac{P_{41}}{P_{34} \cdot P_{45}}$	$\frac{1}{P_{45}}$
$\frac{P_{41}}{P_{12} \cdot P_{45}}$	$\frac{P_{41}}{P_{23} \cdot P_{45}}$	$\frac{P_{41}}{P_{34} \cdot P_{45}}$	$\frac{1}{P_{45}}$

Význam pravděpodobnosti:

p_{11} - pravděpodobnost přechodu ze zóny I na první pracovní válec, obraceč a zpět do zóny I /obr.9/

p_{12} - pravděpodobnost přechodu ze zóny I do zóny II

p_{22} - pravděpodobnost přechodu ze zóny II přes pracovní válec zpět do zóny II

p_{23} - pravděpodobnost přechodu ze zóny II do zóny III

p_{33} - pravděpodobnost přechodu ze zóny III zpět do zóny III

p_{34} - pravděpodobnost přechodu ze zóny III do zóny IV

p_{45} - pravděpodobnost přechodu z tamburu /zóny IV/
na snímač

p_{41} - pravděpodobnost přechodu ze zóny IV do zóny I

p_{55} - absorbční stav /= 1/

V matici N představují komponenty prvního řádku přímo počet průchodů jednotlivými neabsorbčními stavami 1,2,3 při označení počátečního stavu 1.

Pomocí těchto pravděpodobností lze odvodit střední dobu průchodu vláken mykacím strojem. Celkový čas průchodu se skládá ze tří částí:

$$\bar{t} = t_T + t_{p+o} + t_S \quad /7/$$

kde:

t_T - doba potřebná k projití vlákna po tamburu

t_{p+o} - doba potřebná k projití vlákna po pracovním válci a obraceči

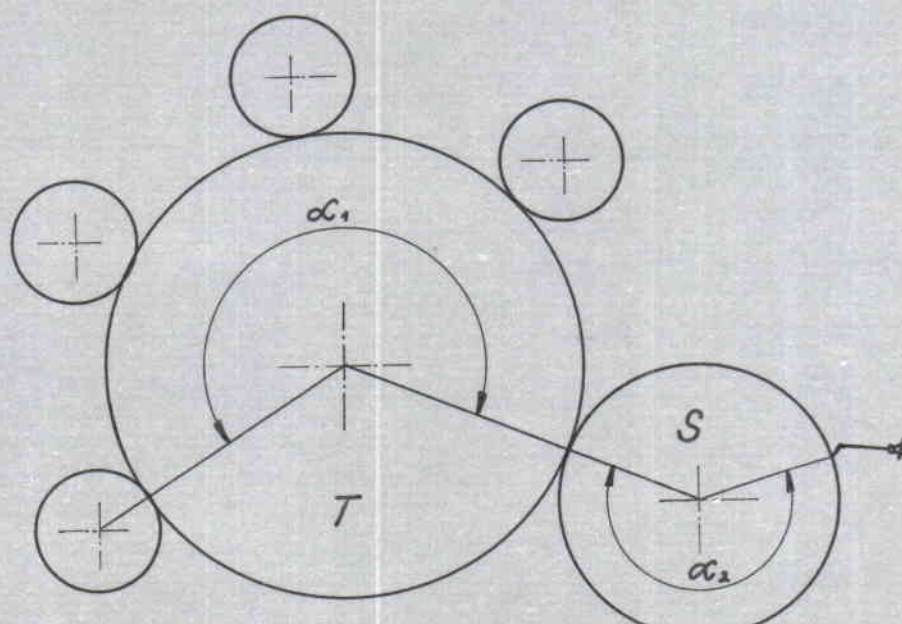
t_S - doba, kterou vlákno tráví na snímači

a/

$$t_T = t_o \cdot \alpha_1 + t_o \cdot \frac{1}{p_{45}} - 1/$$

kde:

α_1 - úhel oblouku mezi podávacími válci a snímačem /obr.10/



Obr.10

/ $\frac{1}{P_{45}} - 1/$ - počet průchodů po tamburu zmenšený o první
průchod /-1/

$$t_o = \frac{1}{n_T}$$

po dosazení:

$$\begin{aligned} t_T &= \frac{1}{n_T} \alpha_i + \frac{1}{n_T} / \frac{1}{P_{45}} - 1/ = \\ &= \frac{1}{n_T} \left[\alpha_i + \frac{1}{P_{45}} - 1/ \right] \end{aligned} \quad /8/$$

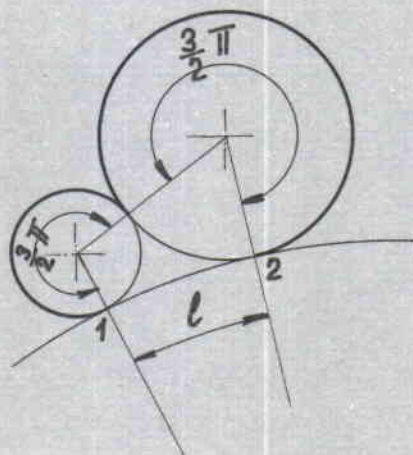
n_T - otáčky tamburu

b/

$$t_{p+o} = t_p \cdot \frac{1}{p_i/i+1/P_{45}} \cdot p_{ii} \quad /9/$$

kde:

t_p - čas průchodu vlákna po pracovním válci /uvažujeme
zjednodušeně $\frac{3}{4}$ obvodu pracovního válce- obr.11/
Délku l pro velkou rychlosť tamburu oproti pracov-
nímu válci zanedbáváme.



Obr.11

c/

$$t_S = \frac{\alpha_2}{n_S}$$

/10/

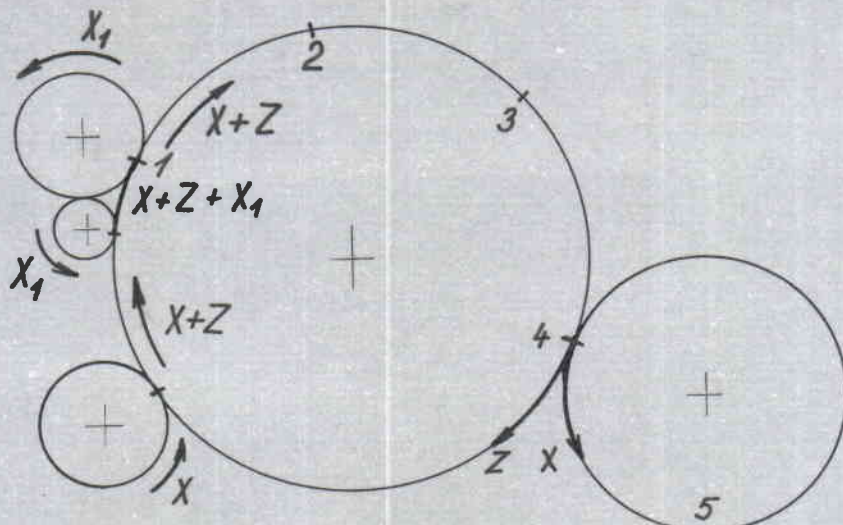
kde:

 α_2 - úhel oblouku mezi tamburem a sčesávací pilkou /obr.10/ n_S - otáčky snímače za minutu

Celkový čas průchodu vláken je roven součtu všech těchto časů. Dosadíme /8/, /9/, /10/ do rovnice /7/:

$$\bar{t} = \frac{1}{n_T} \left[\alpha_1 + \frac{1}{P_{45}} - 1 \right] + \sum_{i=1}^3 t_p \frac{p_{ii}}{P_{45} p_i / i + 1} + \frac{\alpha_2}{n_S} \quad /11/$$

Vztah mezi pravděpodobností zachycení vláken pracovním válcem a pravděpodobností zachycení snímacím válcem.



Obr.12

Podávací výlešky dodávají do stroje vrstvu vláken x /g/min/. V bodě dotyku podévacích výlešků a tamburu se nalézá vrstva $z + x$. Obraceč dodá tamburu vrstvu x_1 , takže na oblouku tamburu, mezi bodem dotyku pracovního válce

a obraceče s tamburem, se nachází vrstva $X_1 + X + Z$.

Tato vrstva se rozdělí; část X_1 , které jde na povrch pracovního válce a část $X + Z$ pokračuje ke snímači. Snímač převeze z tamburu vrstvu X , zbylé vrstvy Z pokračuje na tamburu k podávacím válečkům/obr.12/. Při ustáleném běhu je vrstva X dodaná stejná jako vrstva X odvedená snímačem.

Pak pravděpodobnost přechodu z tamburu na snímač p_{45} je rovna:

$$p_{45} = \frac{X}{X+Z} \quad /12/$$

Pravděpodobnost přechodu z tamburu na pracovní válec

$$p_{11} = \frac{X_1}{X+Z+X_1}$$

obecně:

$$p_{ii} = \frac{X_i}{X+Z+X_1} \quad /13/$$

Vyjádříme-li X_i dostaneme:

$$X_i = \frac{m_i \cdot w_i}{f_i} \quad /14/$$

kde:

m_i - váha materiálu na pracovním válci i

w_i - otáčky pracovního válce za minutu

f_i - část pracovního válce, který materiál pokrývá

/bereme zjednodušeně $\frac{3}{4}$ povrchu/

Dosazením /14/ do rovnice /13/ dostaneme výraz:

$$p_{ii} = \frac{\frac{m_i w_i}{f_i}}{X+Z+\frac{m_i w_i}{f_i}} \quad /15/$$

Z předcházejících úvah vyplývá, že

$$p_{ii} + p_{i/i+1/} = 1$$

/16/

z čehož po dosazení /14/ dostaneme:

$$p_{i/i+1/} = 1 - \frac{\frac{m_i w_i}{f_i}}{x+z+\frac{m_i w_i}{f_i}}$$

a po úpravě:

$$p_{i/i+1/} = \frac{x+z}{x+z+\frac{m_i w_i}{f_i}}$$

odtud po dosazení ze vztahu /15/, /12/ a po úpravě dostaneme:

$$\frac{p_{ii}}{p_{45} \cdot p_{i/i+1/}} = \frac{\frac{m_i w_i}{f_i \cdot x}}{x}$$

/17/

Část výrazu $\frac{m_i w_i}{f_i x}$ není konstantní a záleží na seřízení stroje.

Pravděpodobnosti mají stejný význam jako koeficient rozdělení.

III. EXPERIMENTÁLNÍ

ČÁST

1. Provedení experimentu

Experiment jsem prováděla k určení střední doby průchodu vláken mykacím strojem /T/. Experiment byl proveden na válcovém mykacím stroji, který je umístěn v dílenských laboratořích katedry přádelníctví VŠST Liberec. Tento mykací stroj nemá rozvolňovací ústrojí. Z toho důvodu muselo být důkladné rozvolnění provedeno ručně. Materiál je podáván laťovým pásem a uchopen podávacími vélešky. Na mykacím stroji jsou tři páry válců: pracovní válec - obraceč /příloha č.1/. Tambur a snímací válec mají drátkové povlaky. Vyrobena pavučina se navíjí na navíjecí válec. Pro můj pokus byla rovnoměrně zachycována na podložku tak, aby se daly odebrat délkové jednotky pavučiny.

Při experimentu jsem měnila rychlosť pomocí výmenných řemenic a seřízení pracovních válců k tamburu.

Používala jsem tří rychlostí a tří seřízení a jejich kombinací jsem dostala 9 režimů.

Mykací stroj byl před prováděním experimentů řádně vyčištěn a potahy byly přebroušeny.

Hodnoty používaných seřízení /tabulka 1/

ozna- čení	1.prac.v. - tambur	2.prac.v. - tambur	3.prac.v. - tambur	snímač -tambur
I.	0,35	0,30	0,25	0,25
II.	0,40	0,35	0,30	0,25
III.	0,50	0,45	0,40	0,35

Tabulka 1

Hodnoty používaných rychlostí snímače:

$$v_{s1} = 8,15 \text{ m/min}$$

$$v_{s2} = 9,7 \text{ m/min}$$

$$v_{s3} = 10,0 \text{ m/min}$$

Tyto hodnoty rychlostí se dosáhly pomocí změny řemenice R_1 /ø 50mm, ø 60mm/ a řemenice R_2 /ø 160mm, ø 200mm/ /příloha č.2/.

Parametry mykacího stroje jsou sestaveny do tabulky 2.

Popis experimentu.

K experimentu byl použit materiál - bílá vlna a černá viskoza. Po dosažení rovnoměrného zaplnění pracovních válců bílou vlnou, byly na podávací pás kladeny dávky: 30g bílé vlny, 5g černé viskozy, 30g bílé vlny, 30g bílé vlny - kvůli dokonalému vyjítí viskozových

Parametry mykacího stroje

Název	otáčky/min	rychlosť m/min	průměr/mm/
el.motor	900	180	-
podávací vál.	25	3,54	45
obraceč	603	124	65,5
v _{p1}	11,52	4,35	
pracovní válv p ₂	13,7	5,16	120
v _{p3}	14,15	5,34	
volant	910	501	175
tambur	189	295	500
podáv.pás	10,2	1,44	500x300
v _{s1}	9,0	8,15	
snímač v _{s2}	10,6	9,7	290
v _{s3}	11,0	10,01	

Tabulka 2

vláken ze stroje. Pavučina vycházející ze stroje byla zahycována na papírovou podložku tak, aby nedošlo k jejímu protažení. Po zpracování dávky byl stroj zastaven. Z pracovních válců jsem sejmula zbylé vlákna kvůli zjištění zaplněnosti jejich povlaků /tab. č. 3 - příloha č. 3/. Obdržená pavučina byla rozdělena na 15 vzorků po 250mm. Tyto vzorky jsem brala od výskytu prvního černého viskozového vlákna. Získala jsem tak přehled rozložení vláken, pomocí něhož jsem zjišťovala střední čas průchodu vláken mykacím strojem.

Uvedený postup jsem prováděla při 9 režimech stroje,

takže jsem dostala 9 různých závislostí /obr.13 - 21,
příloha č.4 - 12/.

Odebrané vzorky pavučiny jsem rozpouštěla pomocí hydroxidu draselného podle normy ČSN 80 0067. Tato norma se užívá pro kvantitativní zjištování obsahu jednotlivých druhů vláken v textilních polotovarech.

Účelem zkoušky je kvantitativní oddělení proteinových vláken /vlna/, která jsou rozpustná, od vláken celulosových /viskoza/, která jsou nerozpustná. Podstatou zkoušky spočívá v tom, že se varem v roztoku hydroxidu draselného rozpustí vlněná vlákna a zbylá vlákna se po vysušení váží.

Pomůcky a chemikálie:

analytické váhy

elektrická sušárna

váženky

exikátor

odsávačka

baňka 250ml se zpětným chladičem

odměrný válec

spékaný skleněný filtr Sl

hydroxid draselný, roztok 0,3 N/ČSN 68 4711/

kyselina octová ledová, roztok 1% /ČSN 68 6310/

Příprava vzorku.

Pavučinu jsem roztríhala na jednotlivé 250mm dlouhé části. Vzorky měly v průměru hmotnost okolo 2g. Vzorky jsem zbavila nečistot, vysušila je do konstantní hmotnosti v elektrické sušárně a zvážila s přesností na 0,0001g.

Zkušební postup.

Vysušený a zvážený vzorek se vloží do baňky na 250ml se zpětným chladičem a zalije se roztokem hydroxidu draselného v množství nejméně 50ml na 1g navážky. Reakční směs se v baňce zahřívá a po dosažení bodu varu se vaří přesně 15min..5 minut po ukončení varu se teplá směs filtruje přes zvážený filtr. Zbylé vlákna se propláchnou vodou, načež se vloží na 5 minut do roztoku kyseliny octové. Pak se vlákna na stejném filtru znova zfiltrují, propláchnou studenou vodou a nakonec destilovanou vodou, až filtrát nereaguje na indikátorový papír. Zbylá vlákna se suší při teplotě 105 - 110°C do konstantní hmotnosti a váží se s přesností na 0,0001g.

Při hodnocení zkoušky jsem počítala podíl nerozpuštěných vláken v % podle vztahu:

$$x = \frac{m_2 \cdot 100}{m_1} \cdot K \quad /18/$$

kde:

m_1 - hmotnost vysušené navážky v g

m_2 - hmotnost vysušeného zbytku vláken v g

K - opravný koeficient pro ztrátu hmotnosti nerozpuštěných vláken

V našem případě byl K = 1,03

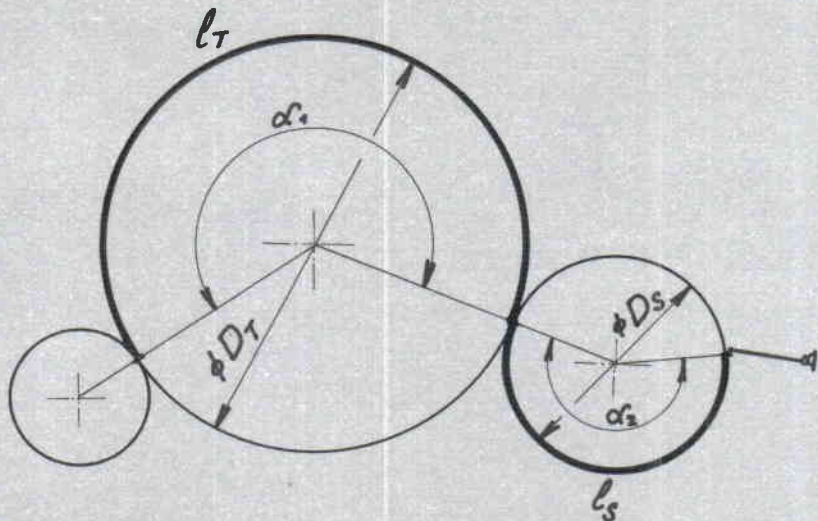
Výsledky vážení a výpočtů podle vztahu /18/ jsou sestaveny do tabulek 4 - 12, příloha č.13 - 21. Procentuální množství viskozy v závislosti na čísle vzorku je zakresleno do grafů /obr.22 - 30, příloha č.22 - 26/.

2. Výpočet střední doby průchodu vláken
mykacím strojem - \bar{t} - z experimentu.

Pro výpočet střední doby průchodu vláken mykacím strojem, bylo třeba nejdříve vypočítat čas t_o . Je to minimální čas, který vlákno tráví na mykacím stroji, tzn. čas, který je potřeba k projití po tamburu a snímači, do místa snímání pavučiny/dráha $l_T + l_S$ - obr. 31/.

Pro čas t_o platí:

$$t_o = t_T + t_S = \frac{l_T}{v_T} + \frac{l_S}{v_S} \quad /19/$$



Obr. 31

kde:

$$l_T = \frac{\alpha_1 \cdot \pi}{360} \cdot D_T = 898 \text{ mm}$$

$$l_S = \frac{\alpha_2 \cdot \pi}{360} \cdot D_S = 504 \text{ mm}$$

Hodnoty $\alpha_1, \alpha_2, D_T, D_S$ viz příloha č.1, hodnoty v_T, v_S
viz tabulka č.2.

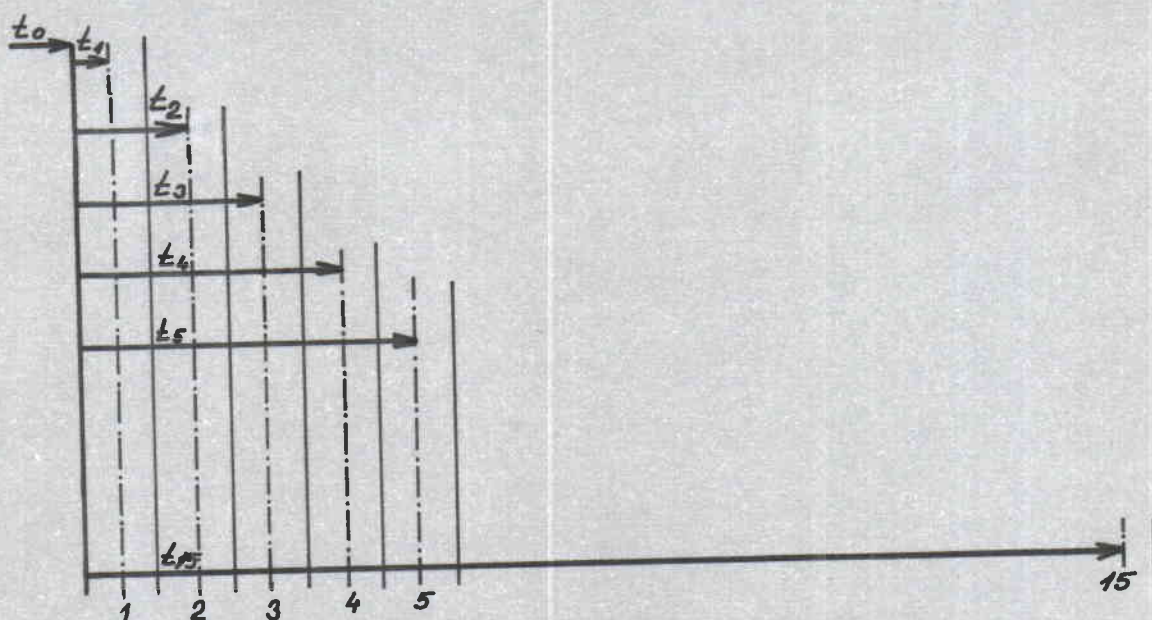
Pro jednotlivé rychlosti snímače v_{S1}, v_{S2}, v_{S3} , dostaneme

	v_{S1}	v_{S2}	v_{S3}
t_S	3,7000	3,1190	3,0100
t_o	3,9820	3,3010	3,1920
t'	0,9191	0,7739	0,7485

Tabulka 13

po dosazení do /19/ časy $t_{o1,2,3}$ /tabulka 13/.

Pro jednotlivé úseky pavučiny /obr.32/ dostáváme časy:



Obr. 32

$$t_1 = t_o + t'$$

$$t_2 = t_1 + 2t'$$

$$t_3 = t_2 + 2t'$$

⋮

$$t_{15} = t_{14} + 2t'$$

Kde: $t' = \frac{0,125}{v_{S1,2,3}} \quad [s]$

Vypočtené hodnoty t' viz tabulka 13. Hodnoty časů $t_1 - t_{15}$ pro jednotlivé rychlosti jsou sestaveny do tabulky 14 příloha č.27.

I. seřízení

	$\sum G_i \quad [g]$	G^*	$\bar{t} \quad [s]$
v_{S1}	5,0195	51,1349	10,1872
v_{S2}	4,8891	44,2541	9,0516
v_{S3}	4,5091	38,3981	8,5157

Tabulka 15

II. seřízení

	$\sum G_i \quad [g]$	G^*	$\bar{t} \quad [s]$
v_{S1}	5,2782	55,1748	10,4533
v_{S2}	5,4223	46,2078	8,5218
v_{S3}	5,1720	44,5071	8,6054

Tabulka 16

III. seřízení

	$\sum G_i \quad [g]$	G^*	$\bar{t} \quad [s]$
v_{S1}	5,0970	49,6841	9,7477
v_{S2}	5,1112	42,6225	8,3390
v_{S3}	4,8272	41,3526	8,5666

Tabulka 17

Jestliže sestavíme grafickou závislost věhového množství viskozových vláken na čase $t_1 - t_{15}$ dostáváme křivku normálního rozdělení /obr.13-21,příloha č.4-12/.

Střední dobu průchodu vláken mykacím strojem vypočítáme ze vztahu:

$$\bar{t} = \frac{G_1 \cdot t_1 + G_2 \cdot t_2 + G_3 \cdot t_3 + \dots + G_{15} \cdot t_{15}}{\sum G_i} = \frac{\sum G_i \bar{t}_i}{\sum G_i} \quad /20/$$

Hodnoty $G_1 - G_{15}$ viz tabulka 4 -12,příloha č.13 - 21

Hodnoty $t_1 - t_{15}$ viz tabulka 14,příloha č.27

Po dosazení do vztahu /20/ a vypočtení dostaneme střední dobu průchodu vláken mykacím strojem - \bar{t} viz tabulka 15-17.

3. Výpočet pravděpodobnosti přechodu vláken.

Pro výpočet pravděpodobnosti přechodu vláken použijeme vztahy /16/, /17/. Protože bychom dostali pouze 6 rovnic o 7 neznámých, jako sedmou rovnici použijeme vztah /11/, kde nyní již známe hodnoty střední doby průchodu vláken \bar{t} - vypočtené z experimentu - a neznámé jsou pouze pravděpodobnosti $p_{45}, p_{ii}, p_{i/i+1}$. Abychom však mohli použít uvedené vztahy, musíme nejdříve vypočítat množství X [g/min] a pro rovnici /11/ čas t_p - doba průchodu vláken po prac. válci a obraceči.

Výpočet X [g/min]:

$$X = 4 \cdot \bar{G} \cdot v_S$$

kde:

\bar{G} - průměrná váha vzorků pavučiny pro jednotlivé režimy

v_S - rychlosť snímače v m/min

Vypočtené množství X pro jednotlivé rychlosti snímače

a seřízení je uvedeno v tabulkách 18 - 20.

Výpočet t_p [s]:

$$t_p = t_{pr} + t_o$$

úsek mezi body 1 a 2 /obr.11/ zanedbáváme vzhledem k vysoké rychlosti tamburu proti poměrně nízké rychlosti pracovního válce a obraceče. Pro zjednodušení bereme $\frac{3}{4}$ povrchu pracovního válce a $\frac{3}{4}$ povrchu obraceče.

$$t_{pr} = l_{pr} \cdot \frac{1}{v_p}$$

$$t_o = \frac{l_o}{v_o}$$

$$l_{pr} = \frac{3}{4} \pi \cdot D_p = 282 \text{ mm} ; \quad l_o = \frac{3}{4} \pi \cdot D_o = 150,4 \text{ mm}$$

I. seřízení

	$\bar{G} [g]$	$x [g/min]$
v_{S1}	3,10533	101,2337
v_{S2}	2,72500	105,7300
v_{S3}	2,73319	109,4369

Tabulka 18

II. seřízení

	$\bar{G} [g]$	$x [g/min]$
v_{S1}	3,32733	108,4709
v_{S2}	3,03030	117,5756
v_{S3}	2,87355	115,0569

Tabulka 19

III. seřízení

	$\bar{G} [g]$	$x [g/min]$
v_{S1}	3,24493	105,7847
v_{S2}	2,70063	104,7844
v_{S3}	2,69583	107,9410

Tabulka 20

Vypočtené hodnoty t_p jsou zapsány v tabulce 21.

$$v_{p3} = 5,34 \text{ m/min}$$

$$v_{p2} = 5,16 \text{ m/min}$$

$$v_{p1} = 4,35 \text{ m/min}$$

	t_{pr} [min]	t_p [min]	t_p [s]
v_{p1}	0,0655	0,0667	4,002
v_{p2}	0,0553	0,0565	3,390
v_{p3}	0,0532	0,0544	3,264

Tabulka 21

Stanovení pravděpodobnosti přechodu pro I. seřízení

/viz tabulka 1 - dále bez odkazu/ a rychlosť

$$v_s = 8,15 \text{ m/min.}$$

$$\frac{P_{11}}{P_{45} \cdot P_{12}} = \frac{m_1 \cdot w_1}{f_1 \cdot X}$$

$$\frac{P_{11}}{P_{45} \cdot P_{12}} = \frac{2,5375 \cdot 11,52}{0,75 \cdot 101,2337} = 0,3850$$

$$P_{11} + P_{12} = 1$$

$$\frac{P_{22}}{P_{45} \cdot P_{23}} = \frac{m_2 \cdot w_2}{f_2 \cdot X}$$

$$\frac{P_{22}}{P_{45} \cdot P_{23}} = \frac{0,9668 \cdot 11,52}{0,75 \cdot 101,2337} = 0,1467$$

$$p_{22} + p_{23} = 1$$

$$\frac{p_{33}}{p_{45} \cdot p_{34}} = \frac{m_3 \cdot w_3}{f_3 \cdot X}$$

$$p_{33} + p_{34} = 1$$

$$\frac{p_{33}}{p_{45} \cdot p_{34}} = \frac{1,3594 \cdot 11,52}{0,75 \cdot 101,2337} = 0,2063$$

$$\bar{t} = \frac{1}{n_T} \left[\alpha_i + \frac{1}{p_{45}} - 1/ \right] + t_p \frac{p_{11}}{p_{45} \cdot p_{12}} + t_p \frac{p_{22}}{p_{45} \cdot p_{23}} + \\ + t_p \frac{p_{33}}{p_{45} \cdot p_{34}} + \frac{\alpha_i}{n_s}$$

$$10,1872 = \frac{1}{3,15} \left[0,578 + \frac{1}{p_{45}} - 1/ \right] + 4,002 \cdot 0,3850 + \\ + 4,002 \cdot 0,1467 + 4,002 \cdot 0,2063 + 3,700$$

$$p_{45} = 0,08652$$

$$p_{11} = 0,03224$$

$$p_{12} = 0,96776$$

$$p_{22} = 0,01253$$

$$p_{23} = 0,98747$$

$$p_{33} = 0,01754$$

$$p_{34} = 0,98246$$

Stanovení pravděpodobnosti přechodu pro I. seřízení

a rychlosť v_S = 9,70 m/min.

$$\frac{p_{11}}{p_{45} \cdot p_{12}} = \frac{m_1 \cdot w_1}{f_1 \cdot X}$$

$$\frac{p_{11}}{p_{45} \cdot p_{12}} = \frac{2,9109 \cdot 13,70}{0,75 \cdot 105,7300} = 0,5029$$

$$p_{11} + p_{12} = 1$$

$$\frac{p_{22}}{p_{45} \cdot p_{23}} = \frac{m_2 \cdot w_2}{f_2 \cdot x}$$

$$\frac{p_{22}}{p_{45} \cdot p_{23}} = \frac{0,9090 \cdot 13,70}{0,75 \cdot 105,7300} = 0,1570$$

$$p_{22} + p_{23} = 1$$

$$\frac{p_{33}}{p_{45} \cdot p_{34}} = \frac{m_3 \cdot w_3}{f_3 \cdot x}$$

$$\frac{p_{33}}{p_{45} \cdot p_{34}} = \frac{1,3177 \cdot 13,70}{0,75 \cdot 105,7300} = 0,2277$$

$$p_{34} + p_{33} = 1$$

$$\bar{t} = \frac{1}{n_T} \left[\alpha_r + \frac{1}{p_{45}} - 1 \right] + t_p \frac{p_{11}}{p_{45} \cdot p_{12}} + t_p \frac{p_{22}}{p_{45} \cdot p_{23}} + \\ + t_p \frac{p_{33}}{p_{45} \cdot p_{34}} + \frac{\alpha_s}{n_s}$$

$$9,0516 = \frac{1}{3,15} \left[0,578 + \frac{1}{p_{45}} - 1 \right] + 3,390 \cdot 0,5029 +$$

$$+ 3,390 \cdot 0,1570 + 3,390 \cdot 0,2277 + 3,119$$

$$p_{45} = 0,10378$$

$$p_{11} = 0,04960$$

$$p_{12} = 0,95040$$

$$p_{22} = 0,01604$$

$$p_{23} = 0,98396$$

$$p_{33} = 0,02308$$

$$p_{34} = 0,97692$$

Stanovení pravděpodobnosti přechodu pro I. seřízení

a rychlosť $v_S = 10,0 \text{ lm/min.}$

$$\frac{p_{11}}{p_{45} \cdot p_{12}} = \frac{m_1 \cdot w_1}{f_1 \cdot X}$$

$$\frac{p_{11}}{p_{45} \cdot p_{12}} = \frac{2,0056 \cdot 14,15}{0,75 \cdot 109,4369} = 0,3457$$

$$p_{11} + p_{12} = 1$$

$$\frac{p_{22}}{p_{45} \cdot p_{23}} = \frac{m_2 \cdot w_2}{f_2 \cdot X}$$

$$\frac{p_{22}}{p_{45} \cdot p_{23}} = \frac{0,5575 \cdot 14,15}{0,75 \cdot 109,4369} = 0,0961$$

$$p_{22} + p_{23} = 1$$

$$\frac{p_{33}}{p_{45} \cdot p_{34}} = \frac{m_3 \cdot w_3}{f_3 \cdot X}$$

$$\frac{p_{33}}{p_{45} \cdot p_{34}} = \frac{1,0006 \cdot 14,15}{0,75 \cdot 109,4369} = 0,1725$$

$$p_{33} + p_{34} = 1$$

$$\bar{t} = \frac{1}{n_T} \left[\alpha_1 + \frac{1}{p_{45}} - 1 \right] + t_p \frac{p_{11}}{p_{45} \cdot p_{12}} + t_p \frac{p_{22}}{p_{45} \cdot p_{23}} + \\ + t_p \frac{p_{33}}{p_{45} \cdot p_{34}} + \frac{\alpha_2}{n_S}$$

$$8,5157 = \frac{1}{3,15} \left[0,578 + \frac{1}{p_{45}} - 1 \right] + 3,264 \cdot 0,3457 + \\ + 3,264 \cdot 0,0961 + 3,264 \cdot 0,1725 + 3,0100$$

$$p_{45} = 0,09041$$

$$p_{11} = 0,03031$$

$$p_{12} = 0,96969$$

$$p_{22} = 0,00862$$

$$p_{23} = 0,99138$$

$$p_{33} = 0,01535$$

$$p_{34} = 0,98465$$

Stanovení pravděpodobnosti přechodu pro II. seřízení

a rychlosť $v_S = 8,15 \text{ m/min.}$

$$\frac{p_{11}}{p_{45} \cdot p_{12}} = \frac{m_1 \cdot w_1}{f_1 \cdot x}$$

$$\frac{p_{11}}{p_{45} \cdot p_{12}} = \frac{2,9015 \cdot 11,52}{0,75 \cdot 108,4709} = 0,4108$$

$$p_{11} + p_{12} = 1$$

$$\frac{p_{22}}{p_{45} \cdot p_{23}} = \frac{m_2 \cdot w_2}{f_2 \cdot x}$$

$$\frac{p_{22}}{p_{45} \cdot p_{23}} = \frac{1,0432 \cdot 11,52}{0,75 \cdot 108,4709} = 0,1477$$

$$p_{22} + p_{23} = 1$$

$$\frac{p_{33}}{p_{45} \cdot p_{34}} = \frac{m_3 \cdot w_3}{f_3 \cdot x}$$

$$\frac{p_{33}}{p_{45} \cdot p_{34}} = \frac{1,7136 \cdot 11,52}{0,75 \cdot 108,4709} = 0,2426$$

$$\bar{t} = \frac{1}{n_T} \left[\alpha_t / \frac{1}{p_{45}} - 1 / \right] + t_p \frac{p_{11}}{p_{45} \cdot p_{12}} + t_p \frac{p_{22}}{p_{45} \cdot p_{23}} + \\ + t_p \frac{p_{33}}{p_{45} \cdot p_{34}} + \frac{\alpha_s}{n_s}$$

$$10,4533 = \frac{1}{3,15} \left[0,578 + \frac{1}{p_{45}} - 1 \right] + 4,002 \cdot 0,4108 + \\ + 4,002 \cdot 0,1477 + 4,002 \cdot 0,2426 + 3,700$$

$$p_{45} = 0,08621$$

$$p_{11} = 0,03421$$

$$p_{12} = 0,96579$$

$$p_{22} = 0,01257$$

$$p_{23} = 0,98743$$

$$p_{33} = 0,02049$$

$$p_{34} = 0,97951$$

Stanovení pravděpodobnosti přechodu pro II. seřízení
a rychlosť $v_S = 9,70 \text{ m/min.}$

$$\frac{p_{11}}{p_{45} \cdot p_{12}} = \frac{m_1 \cdot w_1}{f_1 \cdot x}$$

$$\frac{p_{11}}{p_{45} \cdot p_{12}} = \frac{2,4811 \cdot 13,70}{0,75 \cdot 117,5756} = 0,3855$$

$$p_{11} + p_{12} = 1$$

$$\frac{p_{22}}{p_{45} \cdot p_{23}} = \frac{m_2 \cdot w_2}{f_2 \cdot x}$$

$$\frac{p_{22}}{p_{45} \cdot p_{23}} = \frac{0,3860 \cdot 13,70}{0,75 \cdot 117,5756} = 0,0600$$

$$p_{22} + p_{23} = 1$$

$$\frac{p_{33}}{p_{45} \cdot p_{34}} = \frac{m_3 \cdot w_3}{f_3 \cdot x}$$

$$\frac{p_{33}}{p_{45} \cdot p_{34}} = \frac{1,2090 \cdot 13,70}{0,75 \cdot 117,5756} = 0,1878$$

$$p_{33} + p_{34} = 1$$

$$\bar{t} = \frac{1}{n_T} \left[\alpha_1 + \frac{1}{p_{45}} - 1/ \right] + t_p \frac{p_{11}}{p_{45} \cdot p_{12}} + t_p \frac{p_{22}}{p_{45} \cdot p_{23}} + \\ + t_p \frac{p_{33}}{p_{45} \cdot p_{34}} + \frac{\alpha_2}{n_s}$$

$$8,5218 = \frac{1}{3,15} \left[0,578 + \frac{1}{p_{45}} - 1/ \right] + 3,390 \cdot 0,3855 + \\ + 3,390 \cdot 0,0600 + 3,390 \cdot 0,1878 + 3,119$$

$$p_{45} = 0,09360$$

$$p_{11} = 0,03482$$

$$p_{12} = 0,96518$$

$$p_{22} = 0,00558$$

$$p_{23} = 0,99442$$

$$p_{33} = 0,01634$$

$$p_{34} = 0,98366$$

Stanovení pravděpodobnosti přechodu pro II. seřízení

a rychlosť v_S = 10,01m/min.

$$\frac{p_{11}}{p_{45} \cdot p_{12}} = \frac{m_1 \cdot w_1}{f_1 \cdot x}$$

$$\frac{p_{11}}{p_{45} \cdot p_{12}} = \frac{2,5535 \cdot 14,15}{0,75 \cdot 115,0569} = 0,4187$$

$$p_{11} + p_{12} = 1$$

$$\frac{p_{22}}{p_{45} \cdot p_{23}} = \frac{m_2 \cdot w_2}{f_2 \cdot x}$$

$$\frac{p_{22}}{p_{45} \cdot p_{23}} = \frac{1,2702 \cdot 14,15}{0,75 \cdot 115,0569} = 0,2083$$

$$p_{22} + p_{23} = 1$$

$$\frac{p_{33}}{p_{45} \cdot p_{34}} = \frac{m_3 \cdot w_3}{f_3 \cdot x}$$

$$\frac{p_{33}}{p_{45} \cdot p_{34}} = \frac{1,7922 \cdot 14,15}{0,75 \cdot 115,0569} = 0,2939$$

$$p_{33} + p_{34} = 1$$

$$\bar{t} = \frac{1}{n_T} \left[\alpha_1 + \frac{1}{p_{45}} - 1 \right] + t_p \frac{p_{11}}{p_{45} \cdot p_{12}} + t_p \frac{p_{22}}{p_{45} \cdot p_{23}} + t_p \frac{p_{33}}{p_{45} \cdot p_{34}} + \frac{\alpha_2}{n_s}$$

$$8,6054 = \frac{1}{3,15} \left[0,578 + \frac{1}{p_{45}} - 1 \right] + 3,264 \cdot 0,4187 +$$

$$\cdot + 3,264 \cdot 0,2083 + 3,264 \cdot 0,2939 + 3,010$$

$$p_{45} = 0,11649$$

$$p_{11} = 0,04651$$

$$p_{12} = 0,95359$$

$$p_{22} = 0,02369$$

$$p_{23} = 0,97631$$

$$p_{33} = 0,03310$$

$$p_{34} = 0,96690$$

Stanovení pravděpodobnosti přechodu pro III. seřízení

a rychlosť v_S = 8,15 m/min.

$$\frac{p_{11}}{p_{45} \cdot p_{12}} = \frac{m_1 \cdot w_1}{f_1 \cdot x}$$

$$\frac{p_{11}}{p_{45} \cdot p_{12}} = \frac{2,0330 \cdot 11,52}{0,75 \cdot 105,7847} = 0,2952$$

$$p_{11} + p_{12} = 1$$

$$\frac{p_{22}}{p_{45} \cdot p_{23}} = \frac{m_2 \cdot w_2}{f_2 \cdot X}$$

$$\frac{p_{22}}{p_{45} \cdot p_{23}} = \frac{0,4973 \cdot 11,52}{0,75 \cdot 105,7847} = 0,0722$$

$$p_{22} + p_{23} = 1$$

$$\frac{p_{33}}{p_{45} \cdot p_{34}} = \frac{m_3 \cdot w_3}{f_3 \cdot X}$$

$$\frac{p_{33}}{p_{45} \cdot p_{34}} = \frac{1,0836 \cdot 11,52}{0,75 \cdot 105,7847} = 0,1573$$

$$p_{33} + p_{34} = 1$$

$$\bar{t} = \frac{1}{n_T} \left[\alpha_1 + \frac{1}{p_{45}} - 1 \right] + t_p \frac{p_{11}}{p_{45} \cdot p_{12}} + t_p \frac{p_{22}}{p_{45} \cdot p_{23}} + t_p \frac{p_{33}}{p_{45} \cdot p_{34}} + \frac{\alpha_2}{n_s}$$

$$9,7477 = \frac{1}{3,15} \left[0,578 + \frac{1}{p_{45}} - 1 \right] + 4,002 \cdot 0,2952 + \\ + 4,002 \cdot 0,0722 + 4,002 \cdot 0,1573 + 3,700$$

$$p_{45} = 0,07775$$

$$p_{11} = 0,02244$$

$$p_{12} = 0,97756$$

$$p_{22} = 0,00558$$

$$p_{23} = 0,99442$$

$$p_{33} = 0,01208$$

$$p_{34} = 0,98792$$

Stanovení pravděpodobnosti přechodu pro III. seřízení
a rychlosť v_S = 9,70m/min.

$$\frac{p_{11}}{p_{45} \cdot p_{12}} = \frac{m_1 \cdot w_1}{f_1 \cdot x}$$

$$\frac{p_{11}}{p_{45} \cdot p_{12}} = \frac{2,5975 \cdot 13,70}{0,75 \cdot 104,7844} = 0,4528$$

$$p_{11} + p_{12} = 1$$

$$\frac{p_{22}}{p_{45} \cdot p_{23}} = \frac{m_2 \cdot w_2}{f_2 \cdot x}$$

$$\frac{p_{22}}{p_{45} \cdot p_{23}} = \frac{0,4046 \cdot 13,70}{0,75 \cdot 104,7844} = 0,0705$$

$$p_{22} + p_{23} = 1$$

$$\frac{p_{33}}{p_{45} \cdot p_{34}} = \frac{m_3 \cdot w_3}{f_3 \cdot x}$$

$$\frac{p_{33}}{p_{45} \cdot p_{34}} = \frac{0,7988 \cdot 13,70}{0,75 \cdot 104,7844} = 0,1392$$

$$p_{33} + p_{34} = 1$$

$$\bar{t} = \frac{1}{n_T} \left[\alpha_1 + \frac{1}{p_{45}} - 1 \right] + t_p \frac{p_{11}}{p_{45} \cdot p_{12}} + t_p \frac{p_{22}}{p_{45} \cdot p_{23}} + \\ + t_p \frac{p_{33}}{p_{45} \cdot p_{34}} + \frac{\alpha_2}{n_s}$$

$$8,3390 = \frac{1}{3,15} \left[0,578 + \frac{1}{p_{45}} - 1 \right] + 3,390 \cdot 0,4528 + \\ + 3,390 \cdot 0,0705 + 3,390 \cdot 0,1392 + 3,119$$

$$p_{45} = 0,10210$$

$$p_{11} = 0,04419$$

$$p_{12} = 0,95581$$

$$p_{22} = 0,00715$$

$$p_{23} = 0,99285$$

$$p_{33} = 0,01401$$

$$p_{34} = 0,98609$$

Stanovení pravděpodobnosti přechodu pro III. seřízení
a rychlosť $v_s = 10,0 \text{ lm/min.}$

$$\frac{p_{11}}{p_{45} \cdot p_{12}} = \frac{m_1 \cdot w_1}{f_1 \cdot X}$$

$$\frac{p_{11}}{p_{45} \cdot p_{12}} = \frac{2,5676 \cdot 14,15}{0,75 \cdot 107,9410} = 0,4488$$

$$p_{11} + p_{12} = 1$$

$$\frac{p_{22}}{p_{45} \cdot p_{23}} = \frac{m_2 \cdot w_2}{f_2 \cdot X}$$

$$\frac{p_{22}}{p_{45} \cdot p_{23}} = \frac{0,7064 \cdot 14,15}{0,75 \cdot 107,9410} = 0,1235$$

$$p_{22} + p_{23} = 1$$

$$\frac{p_{33}}{p_{45} \cdot p_{34}} = \frac{m_3 \cdot w_3}{f_3 \cdot X}$$

$$\frac{p_{33}}{p_{45} \cdot p_{34}} = \frac{1,0331 \cdot 14,15}{0,75 \cdot 107,9410} = 0,1806$$

$$p_{33} + p_{34} = 1$$

$$\bar{t} = \frac{1}{n_T} \left[\alpha_1 + \frac{1}{p_{45}} - 1/ \right] + t_p \frac{p_{11}}{p_{45} \cdot p_{12}} + t_p \frac{p_{22}}{p_{45} \cdot p_{23}} + \\ + t_p \frac{p_{33}}{p_{45} \cdot p_{34}} + \frac{\alpha_2}{n_s}$$

$$8,5666 = \frac{1}{3,15} \left[0,578 + \frac{1}{p_{45}} - 1 \right] + 3,264 \cdot 0,4488 + \\ + 3,264 \cdot 0,1235 + 3,264 \cdot 0,1806 + 3,0100$$

$$p_{45} = 0,09814$$

$$p_{11} = 0,04218$$

$$p_{12} = 0,95782$$

$$p_{22} = 0,01197$$

$$p_{23} = 0,98803$$

$$p_{33} = 0,01741$$

$$p_{34} = 0,98259$$

Pro všechny režimy platí $f_1 = f_2 = f_3 = 0,75$.

Pro jednotlivé rychlosti bereme $w_1 = w_2 = w_3 = \text{konst.}$

Hodnoty m_1, m_2, m_3 viz tabulka 3, příloha č.3;

X viz tabulky 18 - 20; t_p viz tabulka 21.

Přehledné sestavení pravděpodobnosti přechodu vláken je provedeno v tabulkách 22 - 28.

Pravděpodobnost p_{11}

p_{11}	I.seřízení	II.seřízení	III.seřízení
v_{S1}	0,03224	0,03421	0,02244
v_{S2}	0,04960	0,03482	0,04419
v_{S3}	0,03031	0,04651	0,04218

Tabulka 22

Pravděpodobnost p_{12}

p_{12}	I.seřízení	II.seřízení	III.seřízení
v_{S1}	0,96776	0,96579	0,97756
v_{S2}	0,95040	0,96518	0,95581
v_{S3}	0,96969	0,95359	0,95782

Tabulka 23

Pravděpodobnost p_{22}

p_{22}	I.seřízení	II.seřízení	III.seřízení
v_{S1}	0,01253	0,01257	0,00558
v_{S2}	0,01604	0,00558	0,00715
v_{S3}	0,00862	0,02369	0,01197

Tabulka 24

Pravděpodobnost p_{23}

p_{23}	I.seřízení	II.seřízení	III.seřízení
v_{S1}	0,98747	0,98743	0,99442
v_{S2}	0,98396	0,99442	0,99285
v_{S3}	0,99138	0,97631	0,98803

Tabulka 25

Pravděpodobnost p₃₃

p ₃₃	I.seřízení	II.seřízení	III.seřízení
v _{S1}	0,01754	0,02049	0,01208
v _{S2}	0,02308	0,01634	0,01401
v _{S3}	0,01535	0,03310	0,01741

Tabulka 26

Pravděpodobnost p₃₄

p ₃₄	I.seřízení	II.seřízení	III.seřízení
v _{S1}	0,98246	0,97951	0,98792
v _{S2}	0,97692	0,98366	0,98609
v _{S3}	0,98465	0,96690	0,98259

Tabulka 27

Pravděpodobnost p₄₅

p ₄₅	I.seřízení	II.seřízení	III.seřízení
v _{S1}	0,08652	0,08621	0,07775
v _{S2}	0,10378	0,09360	0,10210
v _{S3}	0,09041	0,11649	0,09814

Tabulka 28

IV. Z H O D N O C E N Í**A Z Á V Ě R**

Hlavním účelem této diplomové práce bylo ověřit a experimentálně vyzkoušet teoretickou metodu zjištování pravděpodobnosti přechodu vláken na válcovém mykacím stroji.

Daná metoda zjištování pravděpodobností byla aplikována na dvoufaktorovém pokusu s jedním opakováním. Při tomto systému byla ověřena praktická použitelnost metody. Nelze však vyvzovat zévry pro funkční závislosti mezi pravděpodobnostmi a rychlostí snímače, pravděpodobnostmi a seřízením pracovních válců a pravděpodobnostmi a počtem pracovních válců, poněvadž statistická analýza neprokázala významnost rozdílu jednotlivých hodnot.

Jednotlivé výsledky pravděpodobností se nacházejí v rámci náhodných chyb. Z toho důvodu by experimentálnímu zjištění funkčních závislostí mezi pravděpodobnostmi a jednotlivými faktory bylo nutné provést dvoufaktorový pokus s několikrát opakováním, ověřit statistickou významnost a stanovit experimentální vztah. K tomu bylo

třeba mnohem více času, než bylo lze na úkol včnovat.

Praktická použitelnost metody je závislá také na možnosti okamžitého numerického zpracování výsledků.

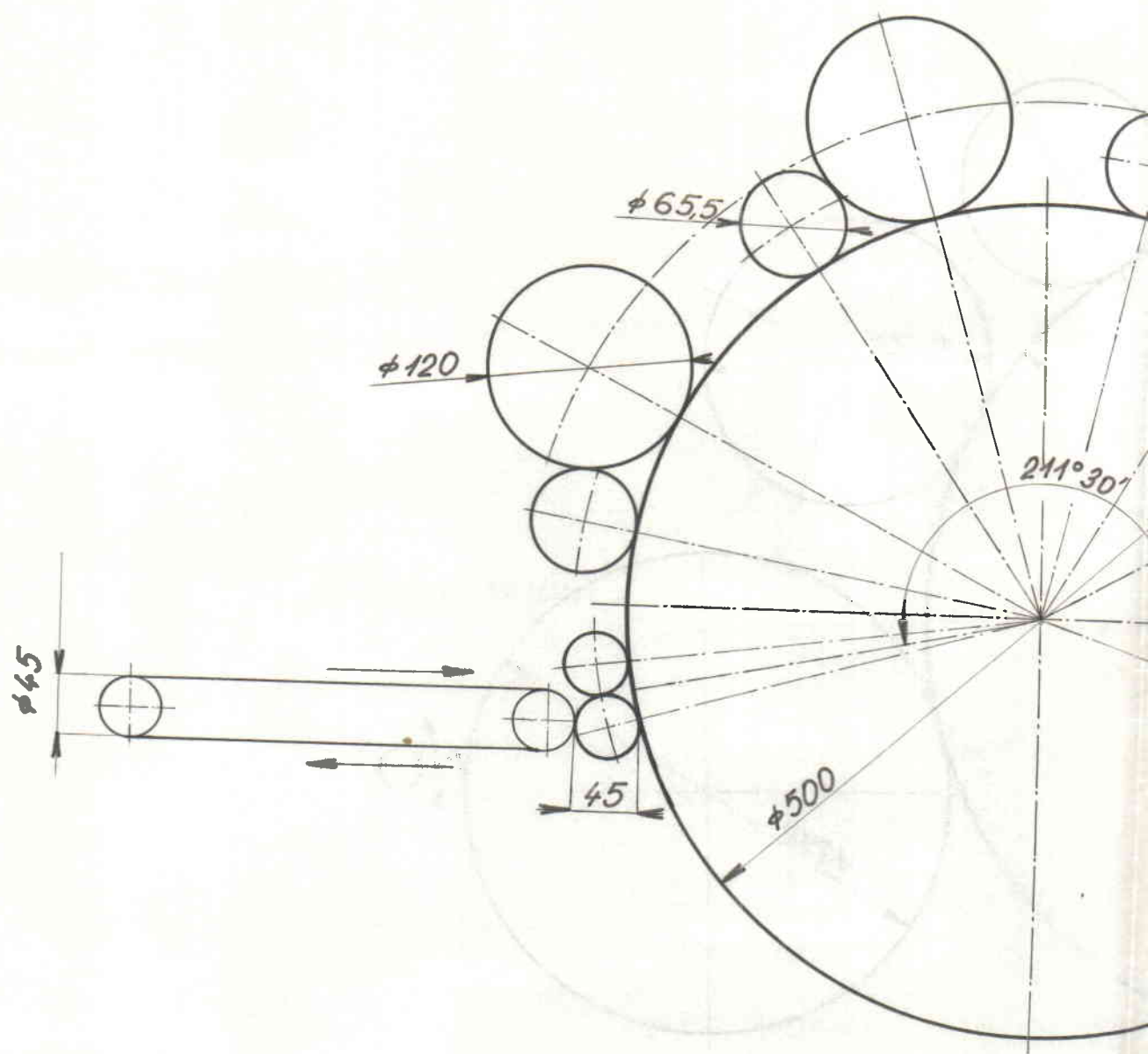
Protože numerický výpočet je dosti zdlouhavý /speciálně při větším počtu zkoušek pro každý režim/ bylo by vhodné používat počítacích strojů. Tím by se značně zkrátil čas potřebný k výpočtům a zlepšila by se praktická použitelnost metody.

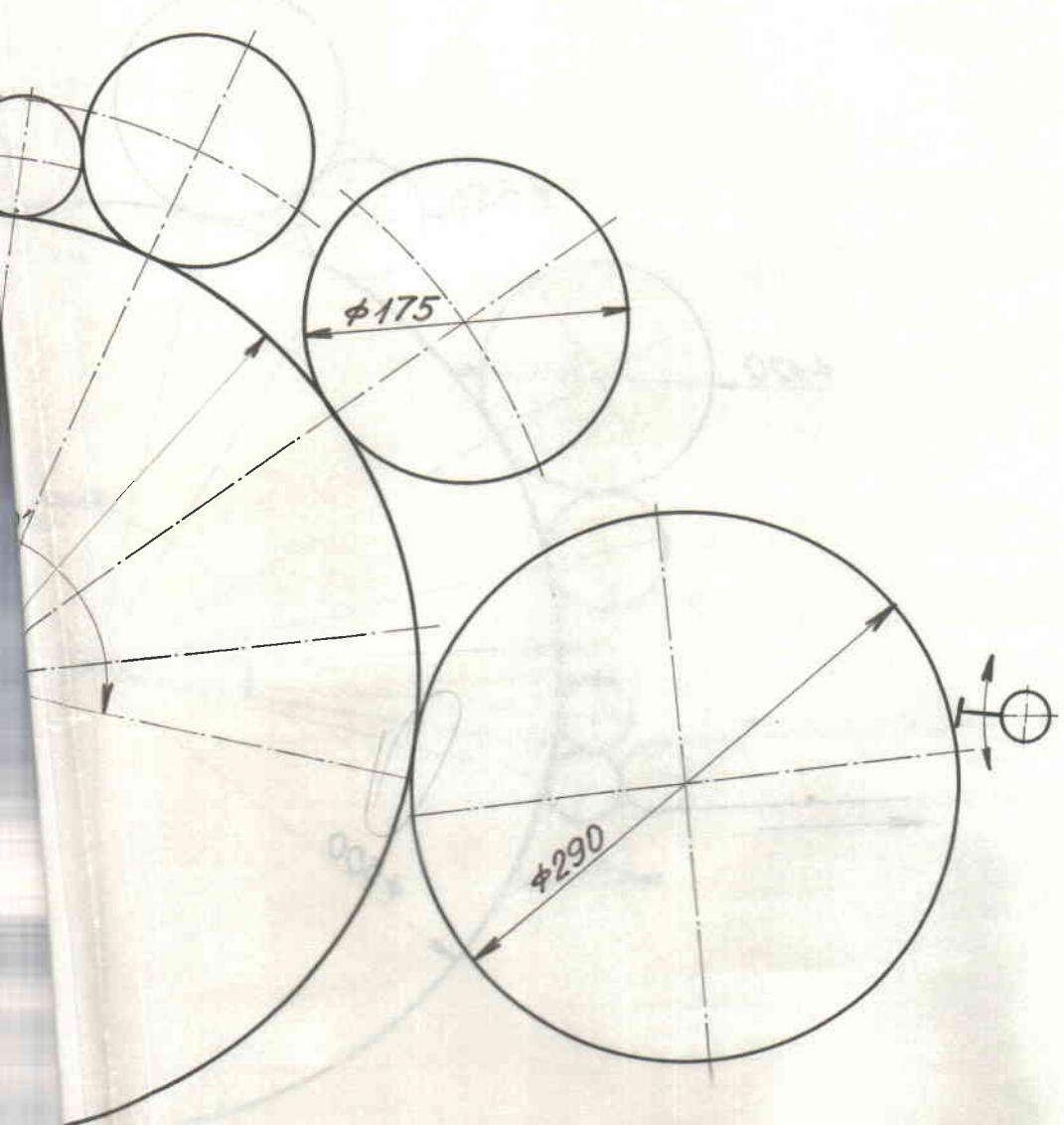
V Liberci 21.6.1971

Dagmar Oberreiterová
Dagmar Oberreiterová

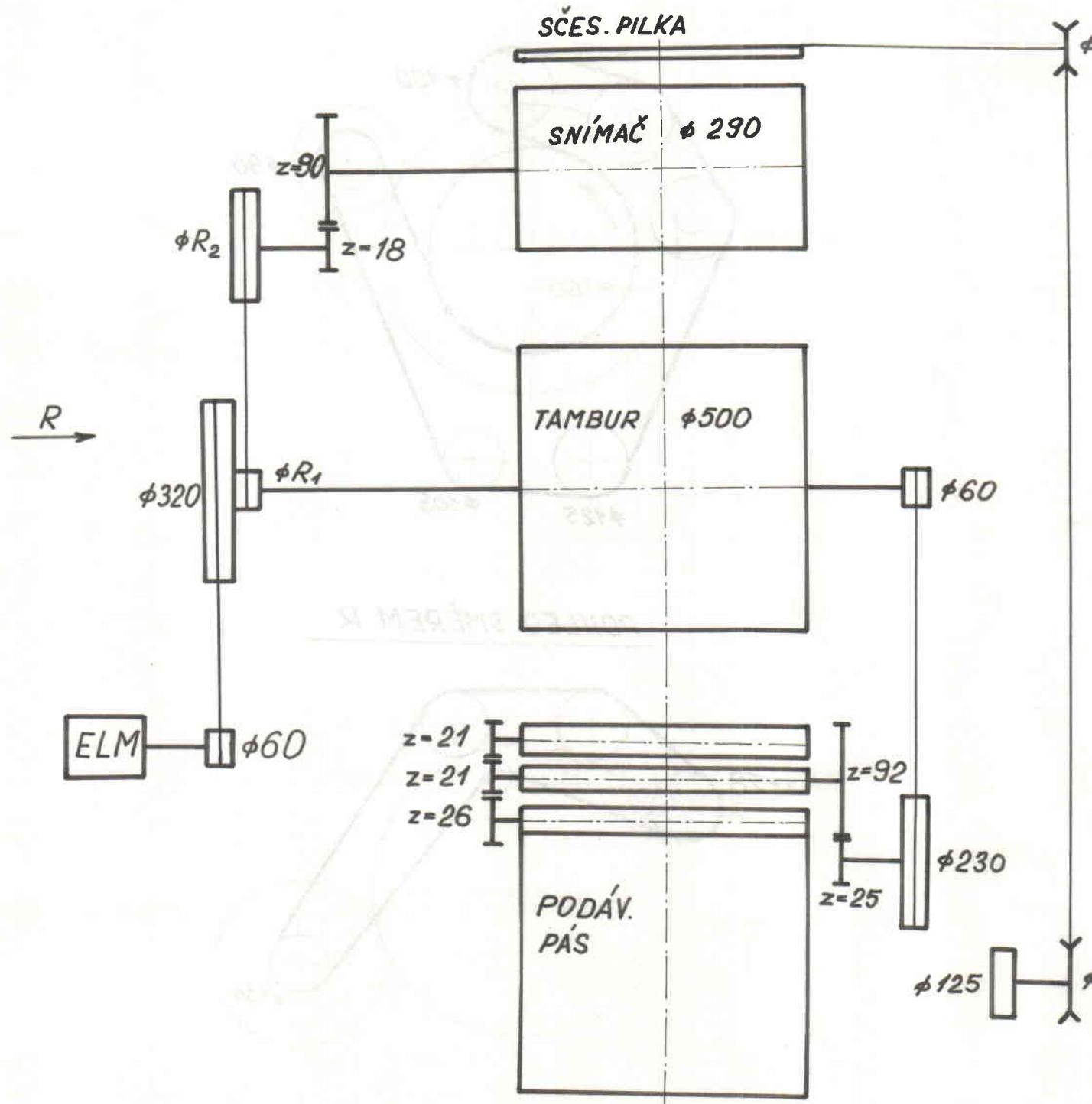
Seznam použité literatury

1. Prof.Ing.Jaroslav Simon:Teorie předení I.díl,
SNTL Praha 1956
2. Prof.Ing.Jaroslav Simon:Spřádání vlny a chemických
vláken II.díl -1970
3. E.Monfort :Carding as a Markovian process
Journál of textile institute
No 8,1962
4. Kemeny,Snell,Thompson :Introduction to finite
mathematics - 1957
5. M.Felix,K.Bláha :Matematickostatistické metody
v chem.průmyslu,SNTL 1962
6. Textil Praxis - 1956
7. Norma ČSN 80 0067

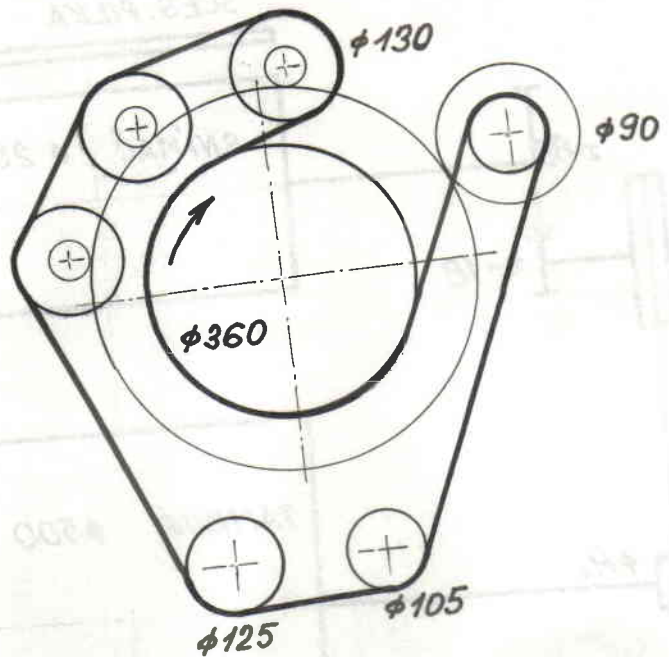




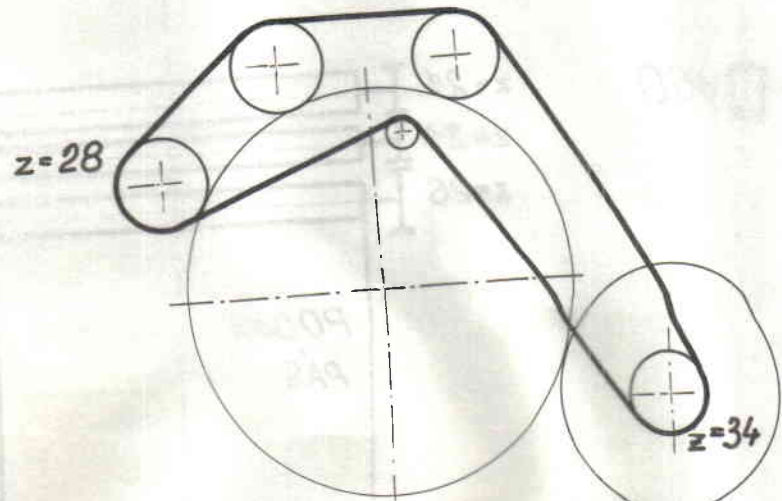
Příloha v



POHLED SMĚREM S



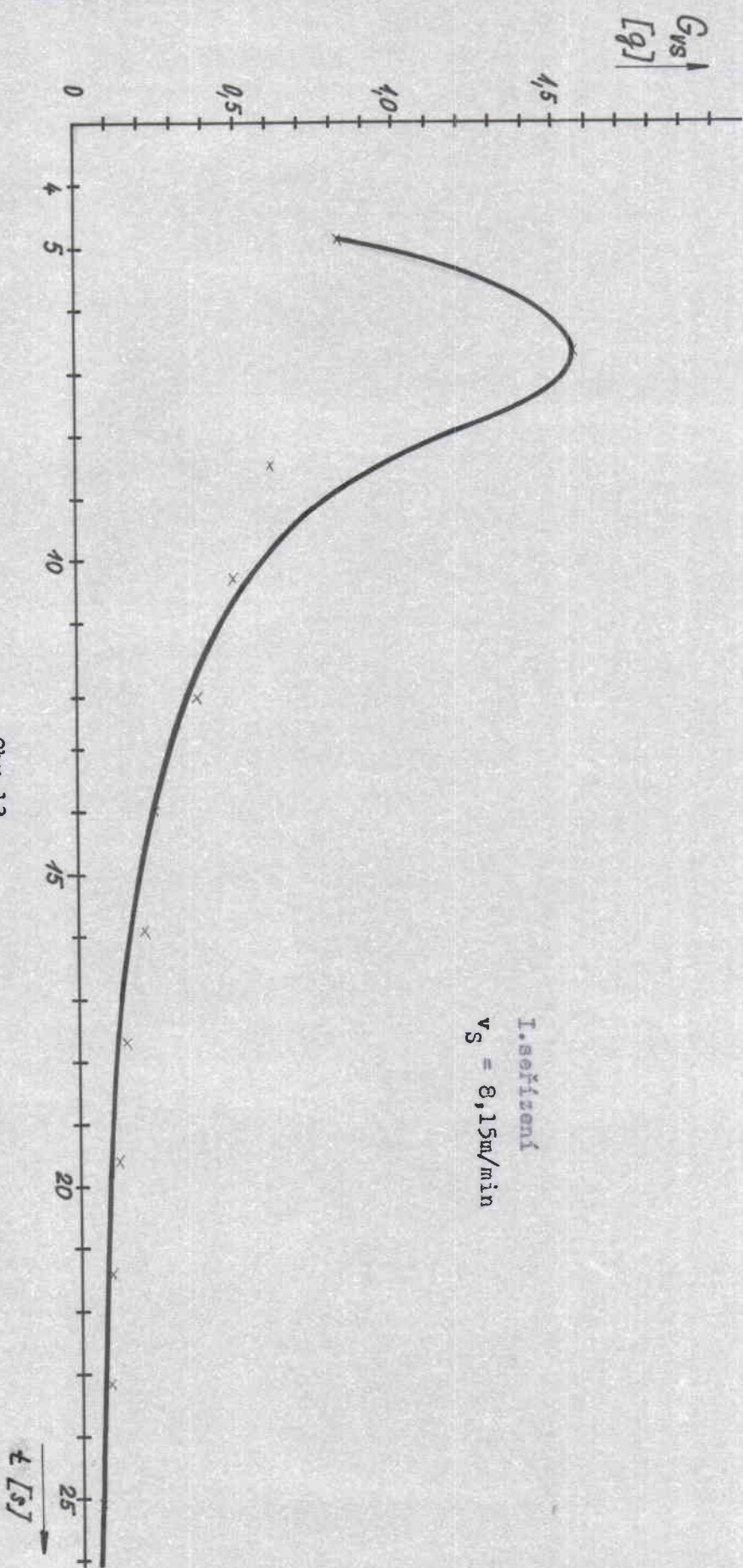
POHLED SMĚREM R

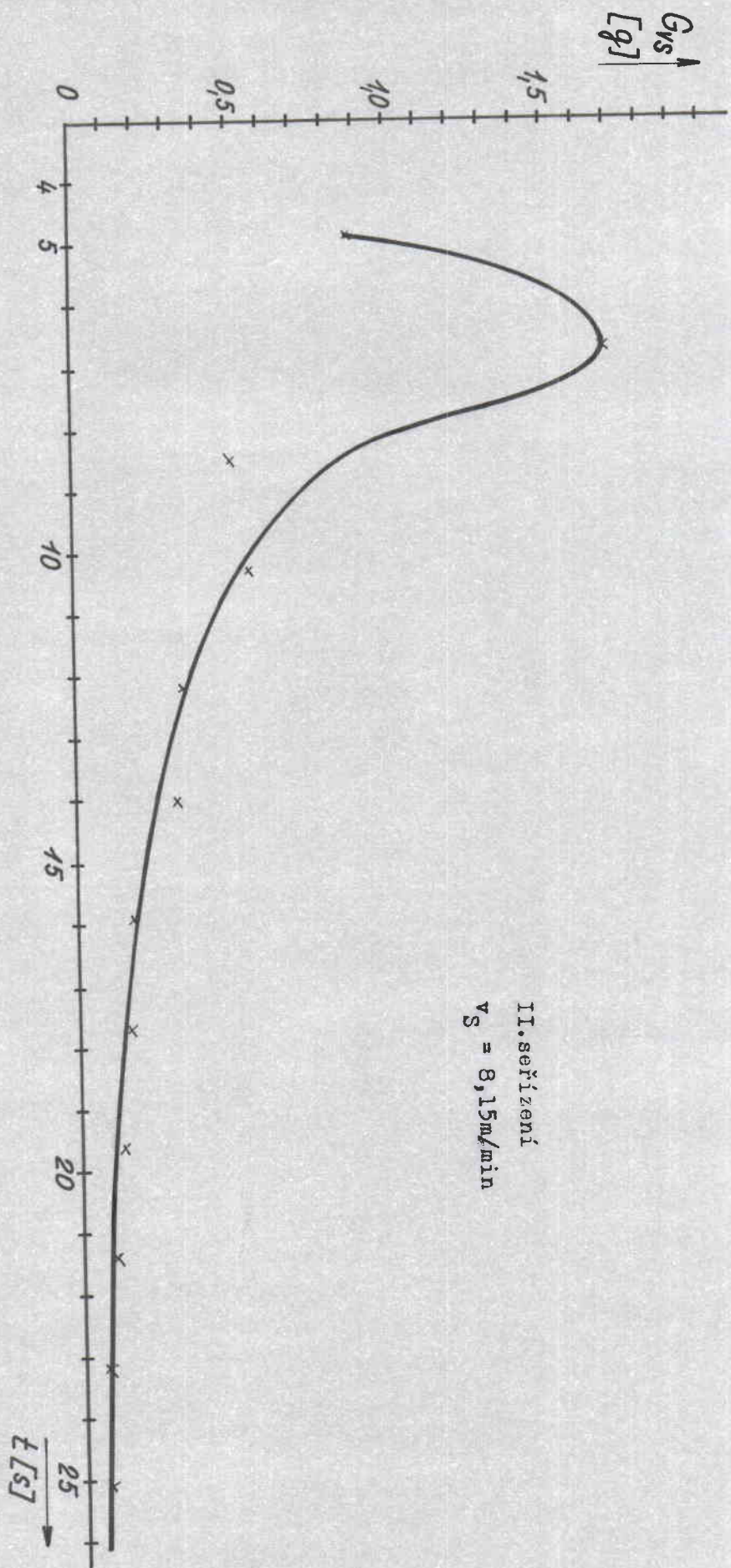


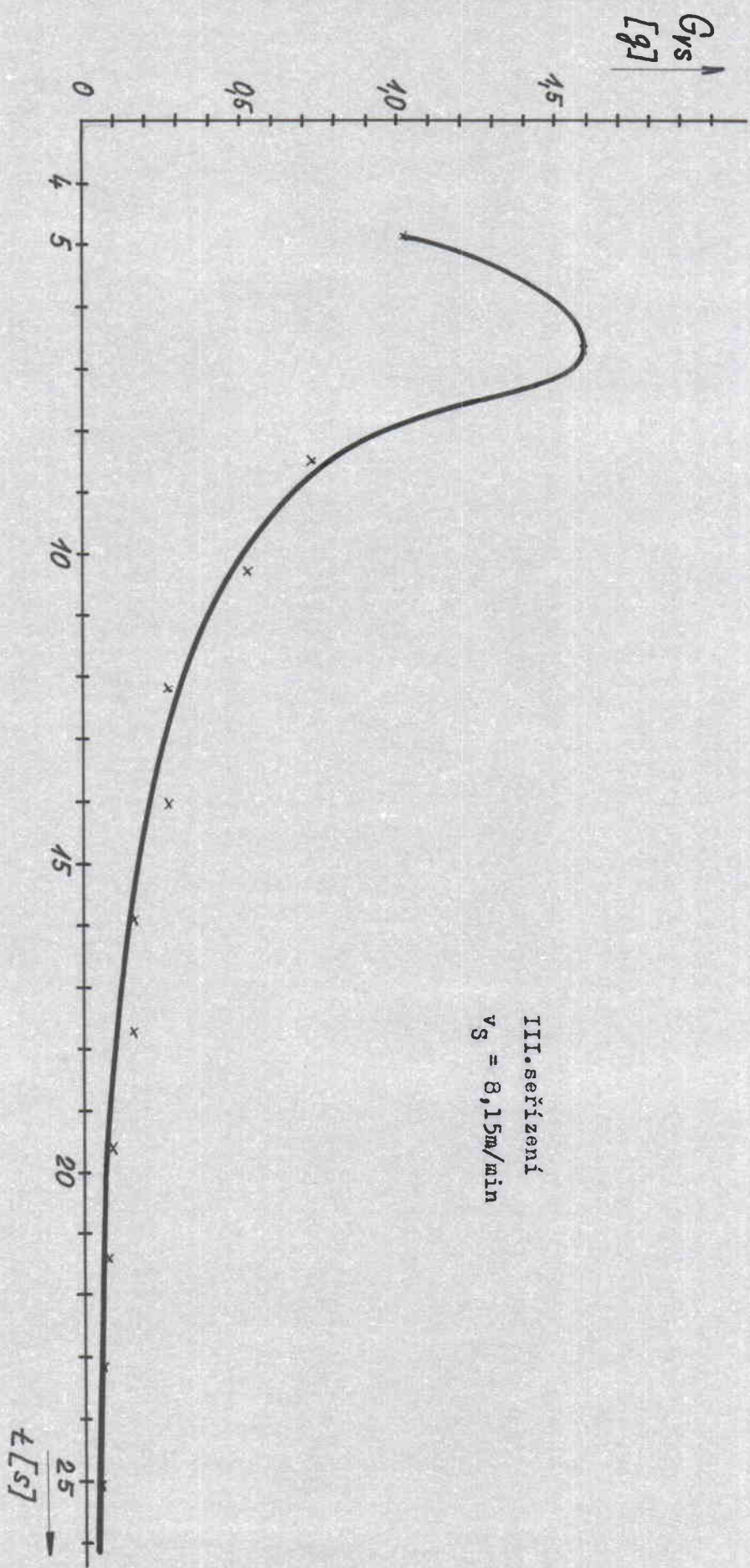
Zaplnění pracovních válců /g/

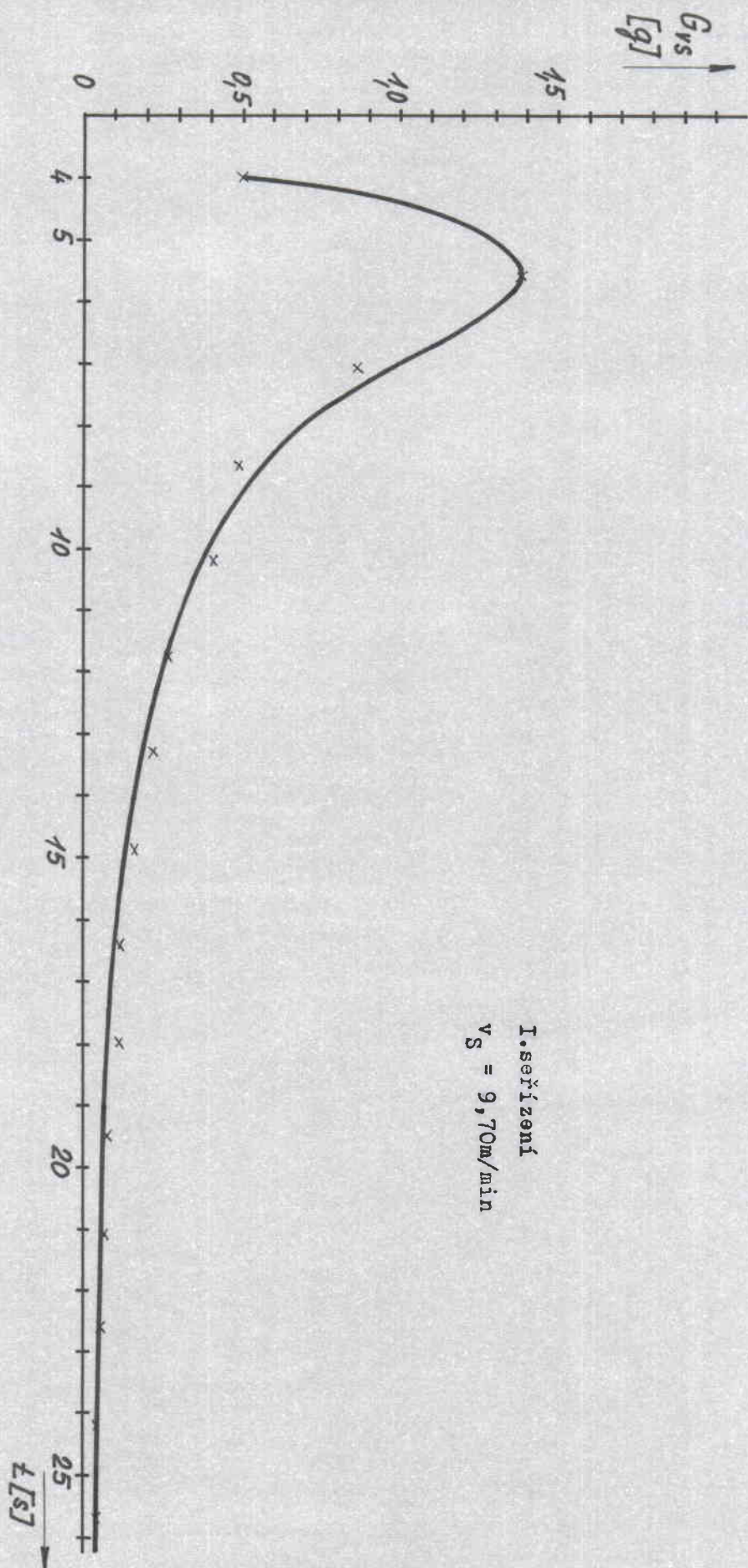
		I.	II.	III.	
		1.p.v	2,5375	2,9015	2,0330
1	2.p.v.	0,9668	1,0432	0,4973	
	3.p.v.	1,3594	1,7136	1,0836	
	1.p.v.	2,9109	2,4811	2,5975	
2	2.p.v.	0,9090	0,3860	0,4046	
	3.p.v.	1,3177	1,2090	0,7988	
	1.p.v.	2,0056	2,5535	2,5676	
3	2.p.v.	0,5575	1,2702	0,7064	
	3.p.v.	1,0006	1,7922	1,0331	

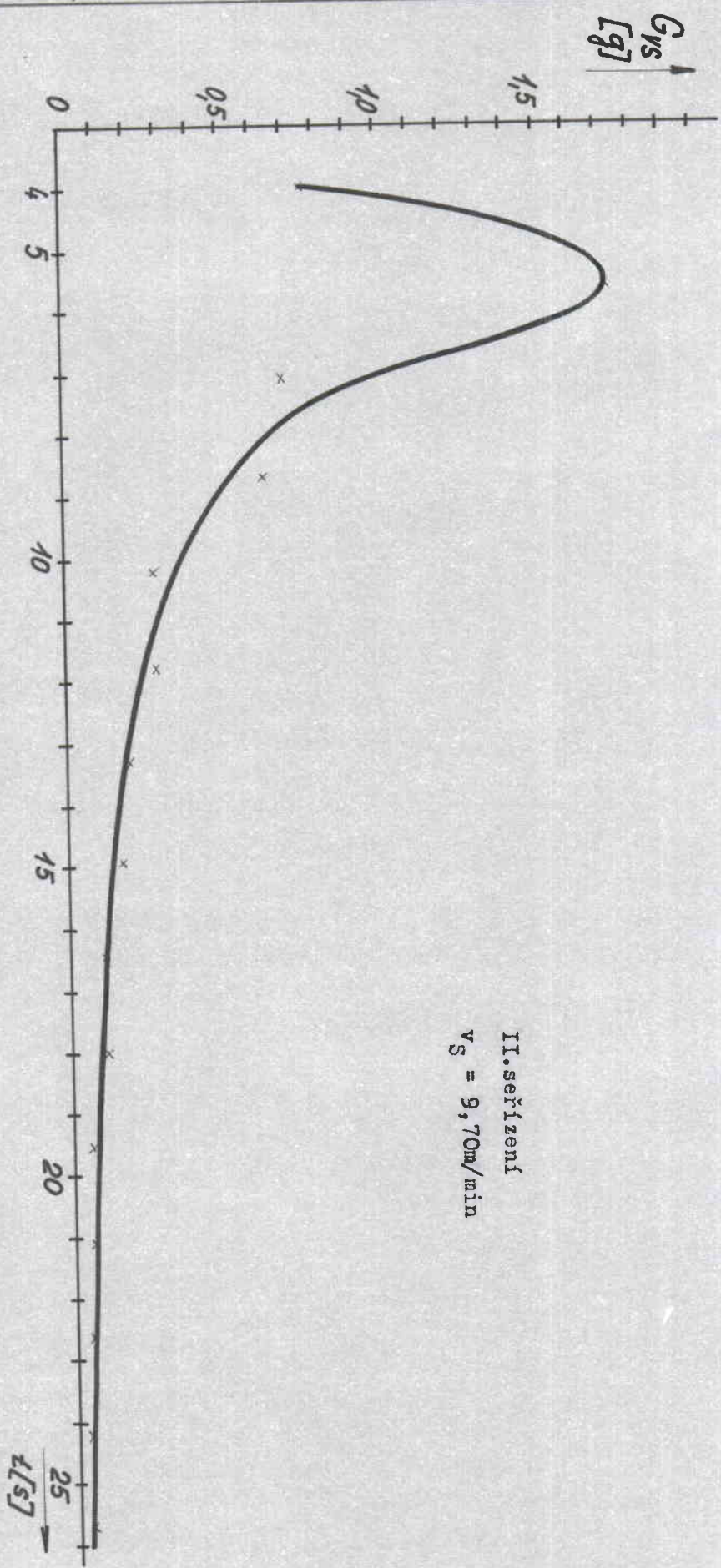
Tabulka 3



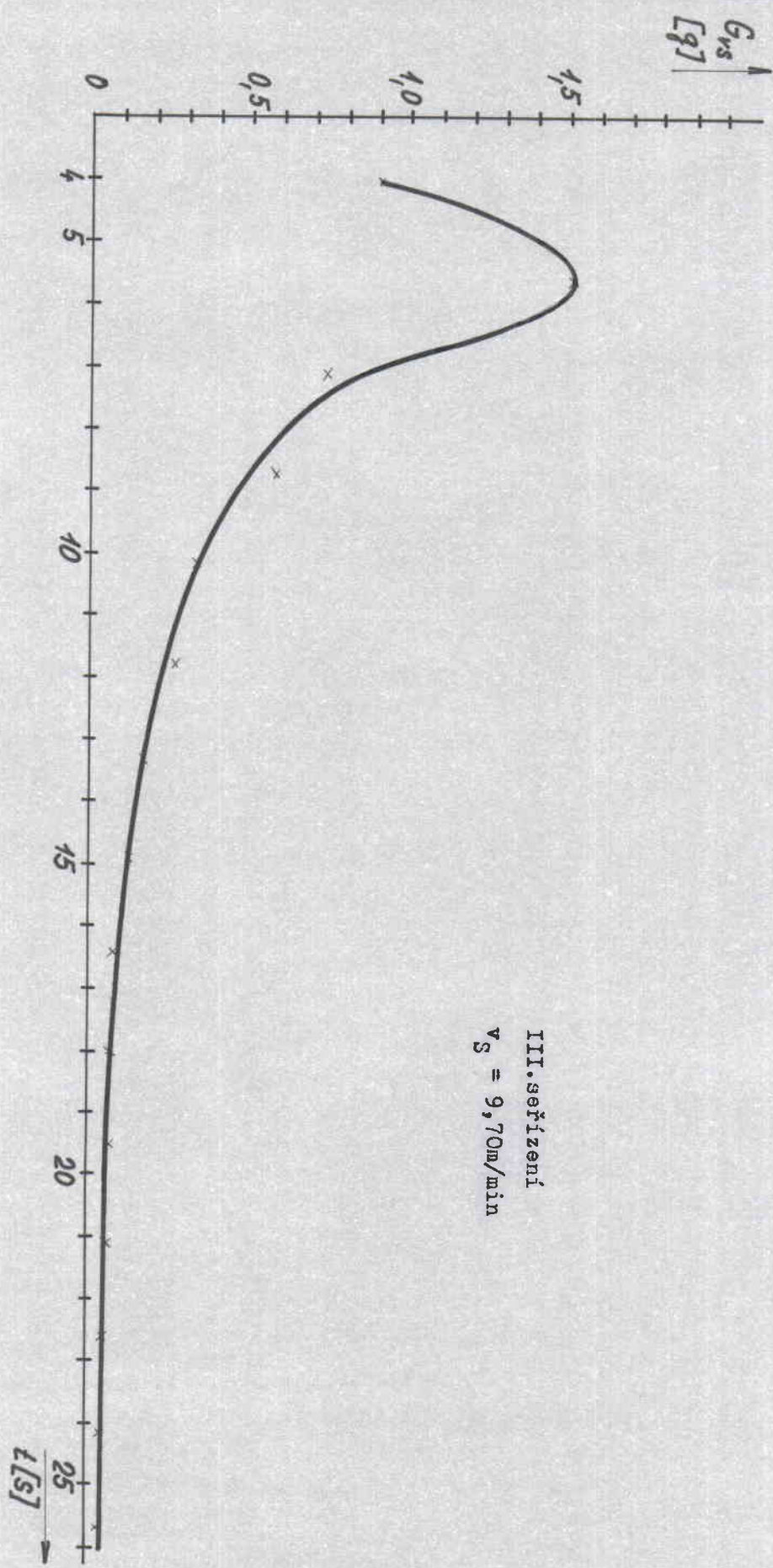




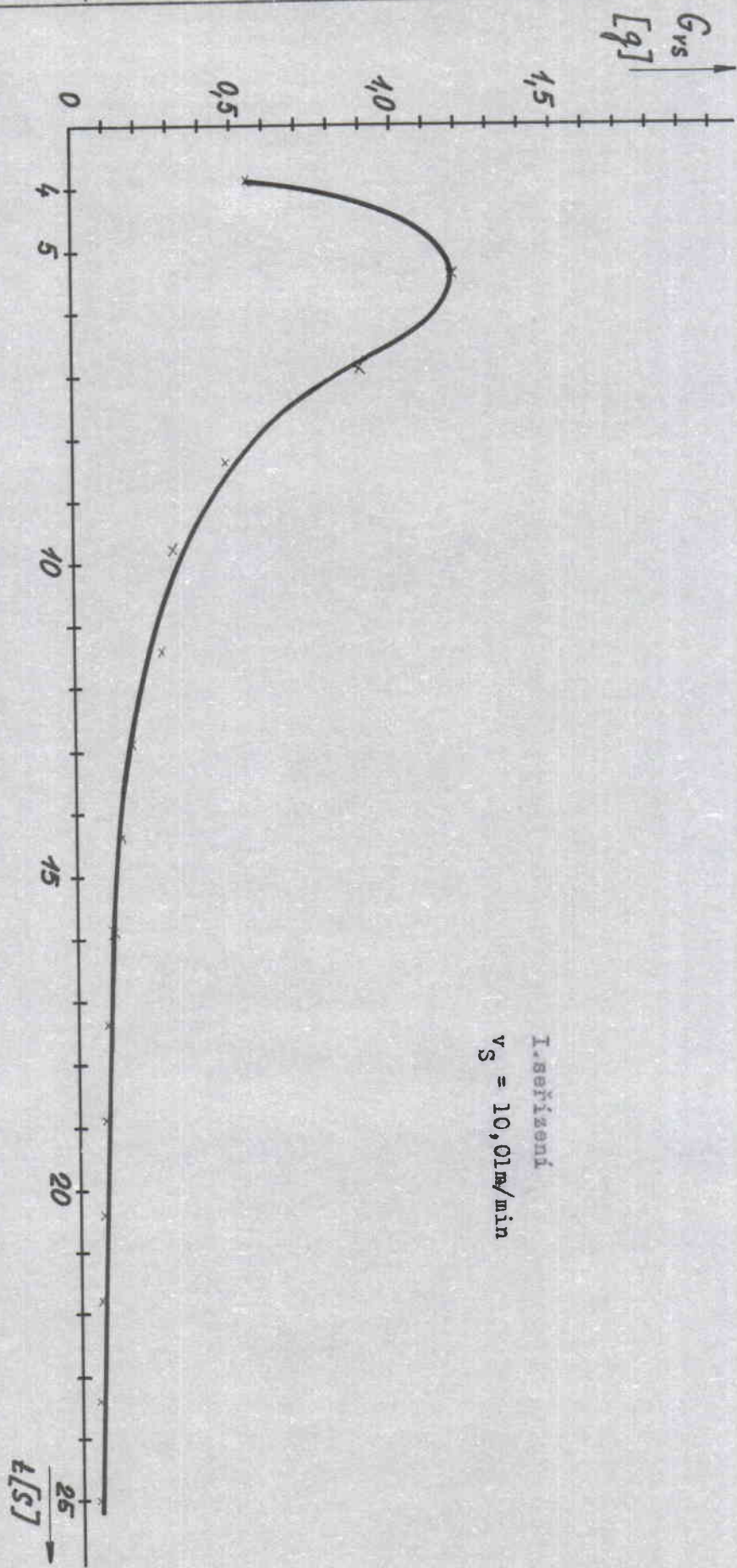


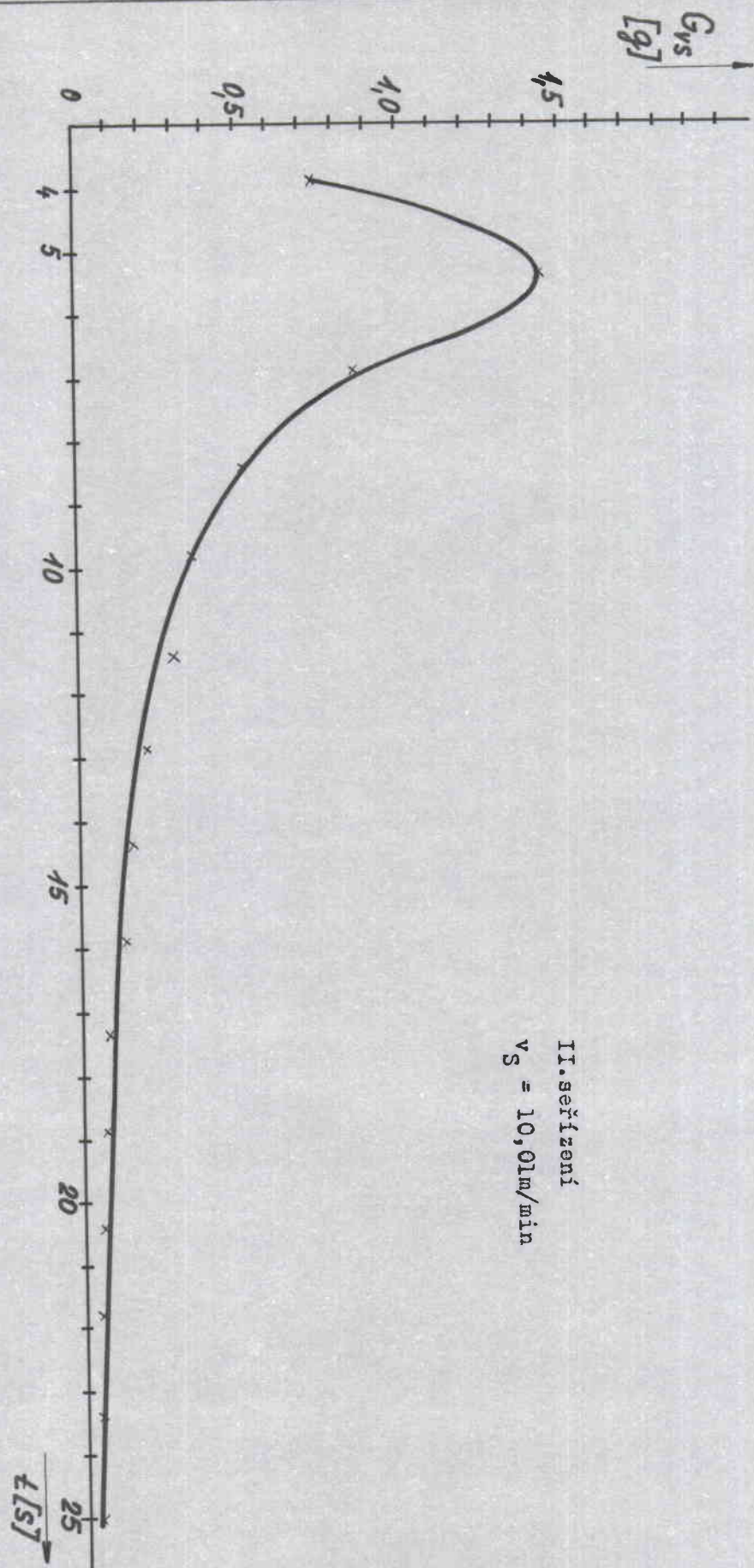


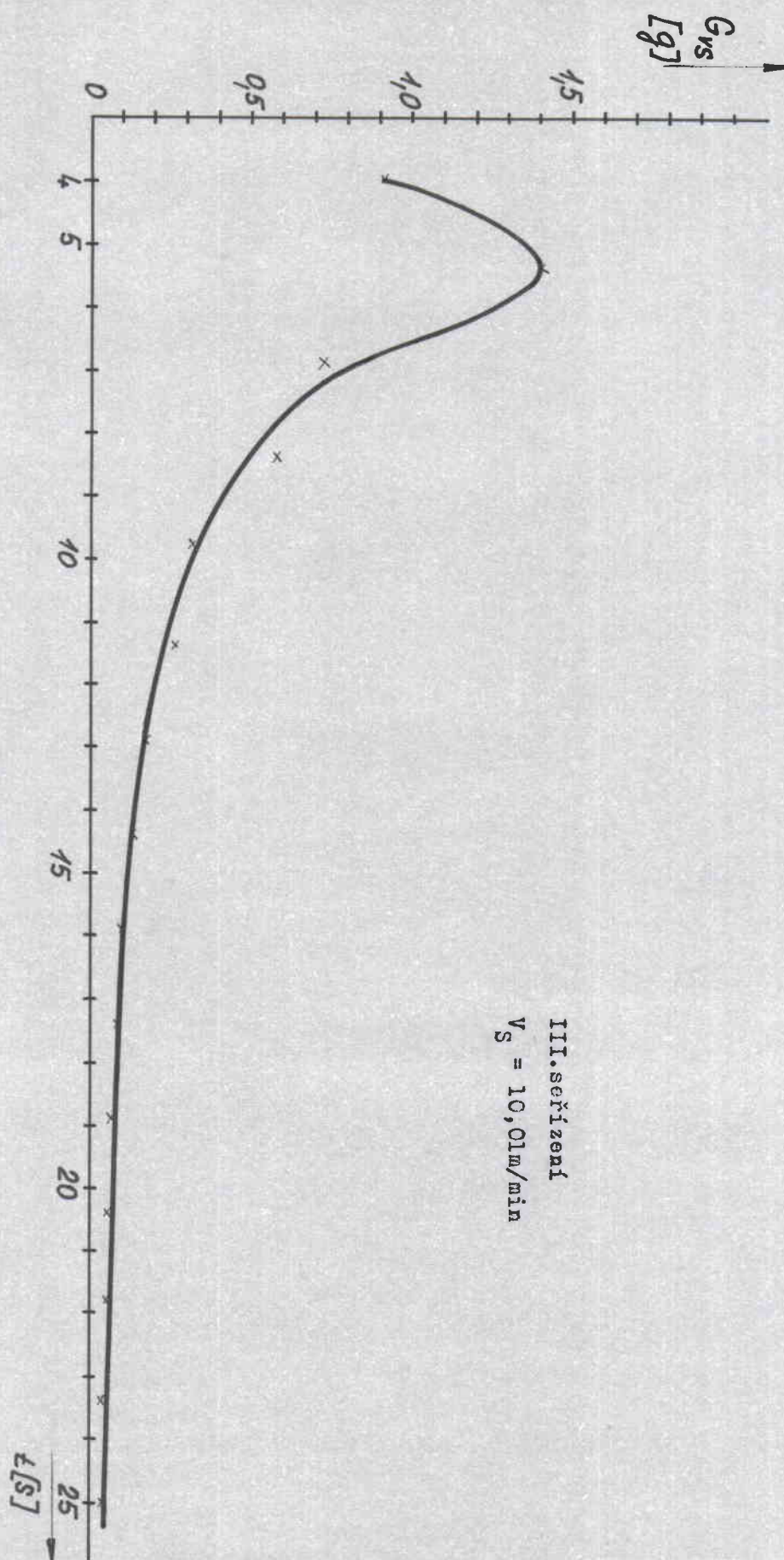
Obr. 17



Obr.18







Obr. 21

I. seřízení

$$v_{S1} = 8,15 \text{ m/min}$$

č.	původní váha vzorku [g]	váha VS vláken G[g]	% VS vláken
1	3,1900	0,8388	27,0835
2	3,3089	1,5731	48,9677
3	2,4938	0,6191	25,5703
4	2,8175	0,5069	18,5308
5	3,2770	0,3729	11,7207
6	3,2118	0,2555	8,1937
7	3,2632	0,2035	6,4233
8	3,2556	0,1506	4,7650
9	3,3265	0,1242	3,8456
10	3,5268	0,0931	2,7192
11	2,9895	0,0814	2,8045
12	2,8475	0,0597	2,1599
13	3,0261	0,0475	1,6171
14	3,2455	0,0506	1,6032
15	2,8802	0,0426	1,5249

Tabulka 4

I. seřízení

$$v_{S2} = 9,70 \text{ m/min}$$

č.	původní váha vzorku [g]	váha VS vláken G[g]	% VS vláken
1	2,6450	0,5031	19,5914
2	2,8957	1,3979	49,7232
3	2,3837	0,8625	37,2601
4	2,3442	0,4961	21,7978
5	2,8790	0,4101	14,6719
6	2,6903	0,2881	11,0301
7	3,0220	0,2241	7,6381
8	2,9228	0,1706	6,0121
9	2,7599	0,1287	4,8029
10	2,7636	0,1105	4,1221
11	2,8218	0,0805	2,9386
12	2,7507	0,0724	2,7109
13	2,6015	0,0557	2,2053
14	2,6798	0,0464	1,7849
15	2,7221	0,0423	1,6123

Tabulka 5

I. seřízení

$$v_{S3} = 10,0 \text{ lm/min}$$

č.	původní váha vzorku [g]	váha VS vláken G[g]	%VS vláken
1	3,4627	0,5575	16,5831
2	3,1005	1,2051	40,0340
3	2,9466	0,8988	31,4180
4	2,7241	0,4835	18,2814
5	2,6437	0,3095	12,0580
6	2,8617	0,2563	9,2249
7	2,8799	0,1920	6,8669
8	2,7385	0,1432	5,3860
9	2,9615	0,1279	4,4483
10	2,7808	0,0864	3,2002
11	2,2668	0,0720	2,5868
12	3,0237	0,0703	2,3947
13	2,5039	0,0491	2,0600
14	1,9155	0,0345	1,8739
15	1,5879	0,0230	1,4952

Tabulka 6

II. seřízení

$$v_{S1} = 8,15 \text{ m/min}$$

č.	původní váha vzorku [g]	váha VS vláken G [g]	% VS vláken
1	3,5616	0,8849	25,5909
2	3,7890	1,6958	46,0985
3	3,3038	0,5045	15,7284
4	3,5914	0,5789	16,6026
5	3,6419	0,3443	9,7375
6	3,8841	0,3269	8,6688
7	3,1926	0,1700	5,4845
8	3,2178	0,1816	5,8129
9	2,9370	0,1315	4,6117
10	2,4585	0,1015	4,2070
11	2,7033	0,0827	3,1510
12	3,3826	0,0861	2,6221
13	3,0851	0,0639	2,1331
14	3,4395	0,0609	1,8245
15	3,7218	0,0647	1,7914

Tabulka 7

II. seřízení

$$v_{S2} = 9,70 \text{ m/min}$$

č.	původní váha vzorku [g]	váha VS vláken G [g]	% VS vláken
1	3,2145	0,7619	24,4130
2	3,4024	1,8378	55,6354
3	2,6700	0,7092	27,3586
4	2,8855	0,6331	22,5989
5	2,9300	0,2804	9,8570
6	3,2116	0,2978	9,5508
7	3,0060	0,2077	7,1168
8	3,0962	0,1730	5,7546
9	3,0155	0,1173	4,0067
10	3,2455	0,1112	3,5290
11	2,7815	0,0773	2,8623
12	2,7603	0,0746	2,7840
13	2,7082	0,0508	1,9322
14	3,3790	0,0478	1,4571
15	3,1483	0,0424	1,3892

Tabulka 8

II. seřízení

$$v_{S3} = 10,0 \text{ m/min}$$

č.	původní váha vzorku [g]	váha VS vláken G [g]	% VS vláken
1	2,7451	0,7415	27,8221
2	2,9337	1,5428	54,1665
3	2,5080	0,8812	36,1896
4	2,3773	0,5178	22,4344
5	2,4745	0,3698	15,3920
6	2,6526	0,3009	11,6843
7	2,7338	0,2102	7,9196
8	2,6874	0,1753	6,7187
9	3,1578	0,1416	4,6186
10	3,2154	0,1069	3,4243
11	3,2475	0,0781	2,4770
12	3,3205	0,0682	2,1156
13	2,8239	0,0490	1,7777
14	2,9997	0,0477	1,6387
15	3,2260	0,0479	1,5295

Tabulka 9

III. seřízení

$$v_{S1} = 8,15 \text{ m/min}$$

č.	původní váha vzorku [g]	váha VS vláken G [g]	% VS vláken
1	3,3621	1,0570	32,3821
2	3,2706	1,5855	49,9158
3	2,6882	0,6282	24,0877
4	3,2769	0,5309	16,6894
5	3,1187	0,2796	9,2339
6	3,0092	0,2779	9,5120
7	2,9690	0,1575	5,4639
8	3,4988	0,1610	4,7380
9	3,1773	0,0991	3,2169
10	3,2706	0,0875	2,7552
11	3,0173	0,0564	1,9250
12	3,3560	0,0470	1,4420
13	3,4805	0,0486	1,4389
14	3,4265	0,0464	1,3951
15	3,7579	0,0401	1,3872

Tabulka 10

III. seřízení

$$v_{S2} = 9,70 \text{ m/min}$$

č.	původní váha vzorku [g]	váha VS vláken G[g]	% VS vláken
1	3,1168	0,9105	30,0890
2	3,2645	1,5061	47,5200
3	2,6175	0,7352	28,9306
4	2,8501	0,5881	21,2534
5	2,8482	0,3315	11,9881
6	2,9182	0,2725	9,6181
7	2,4700	0,1744	7,2725
8	2,2167	0,1350	6,2727
9	2,8700	0,1077	5,0723
10	2,4042	0,0948	4,0613
11	2,7195	0,0760	2,8784
12	2,7401	0,0570	2,1424
13	2,8802	0,0467	1,6696
14	2,6700	0,0393	1,5196
15	2,6065	0,0364	1,4387

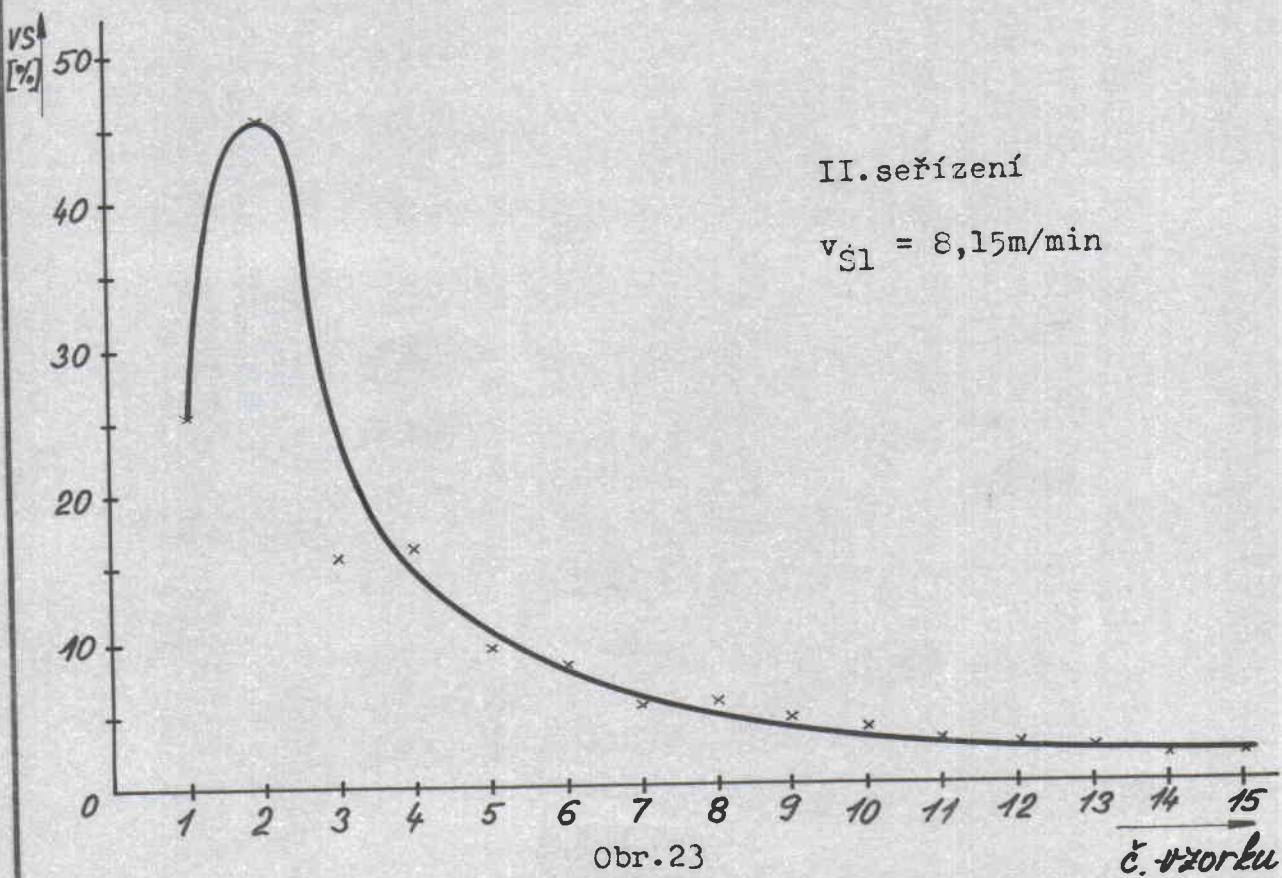
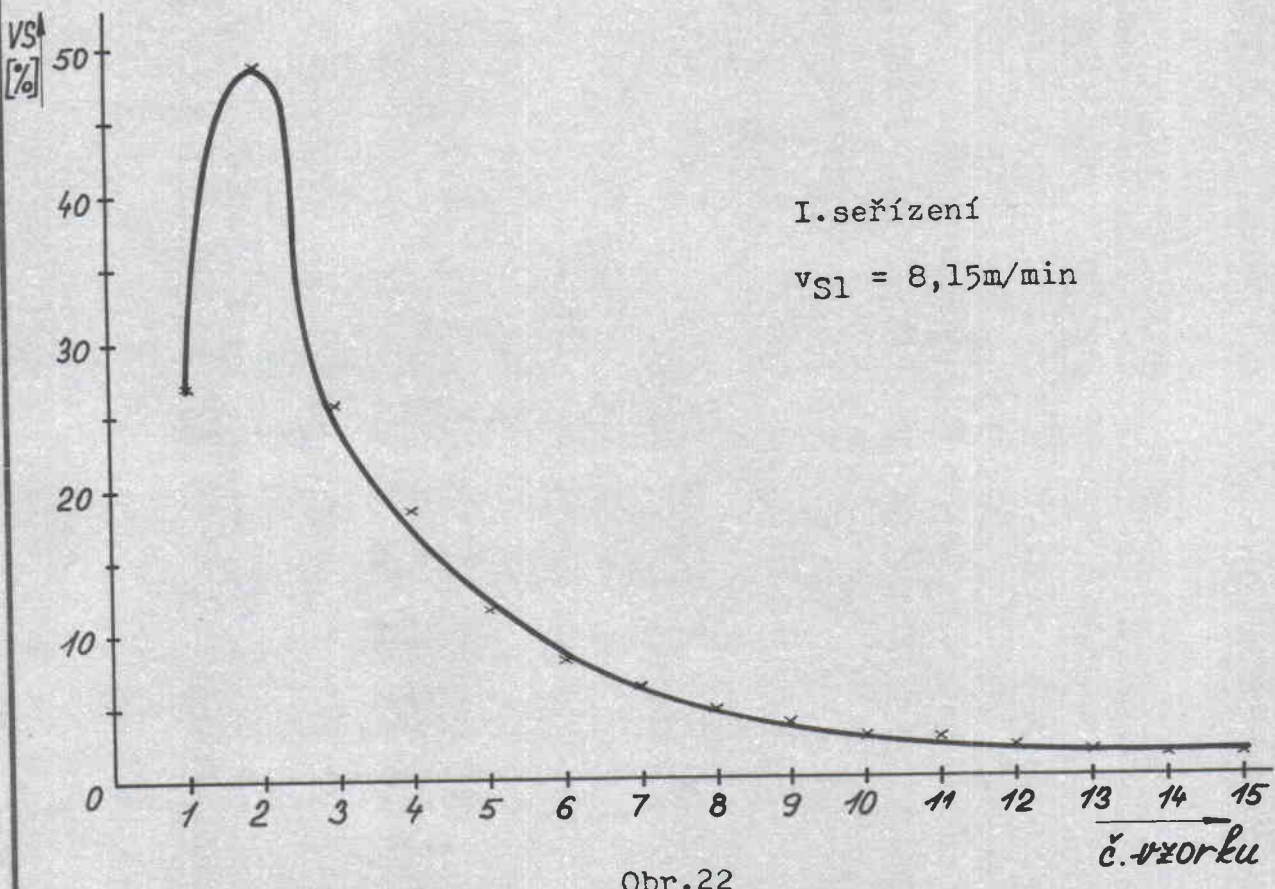
Tabulka 11

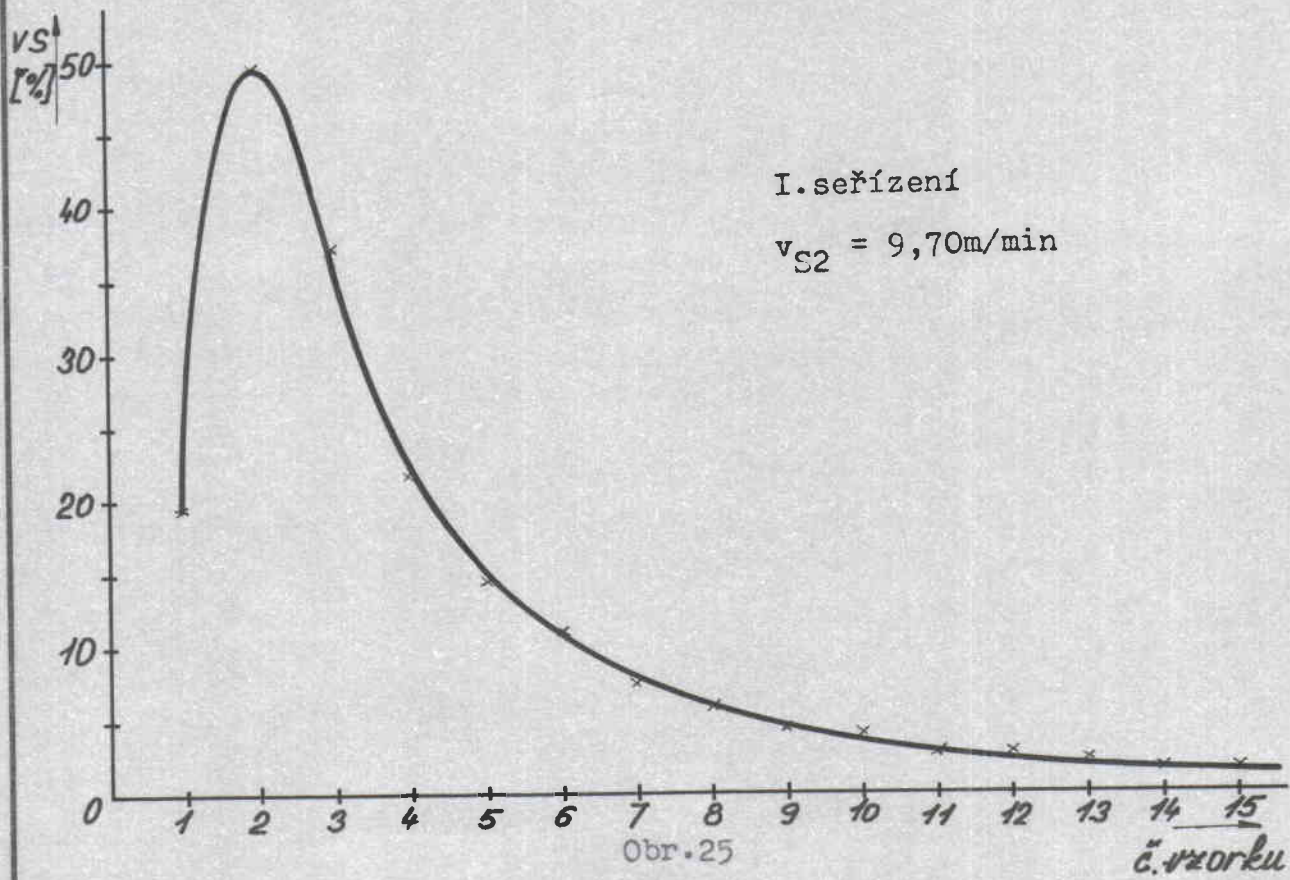
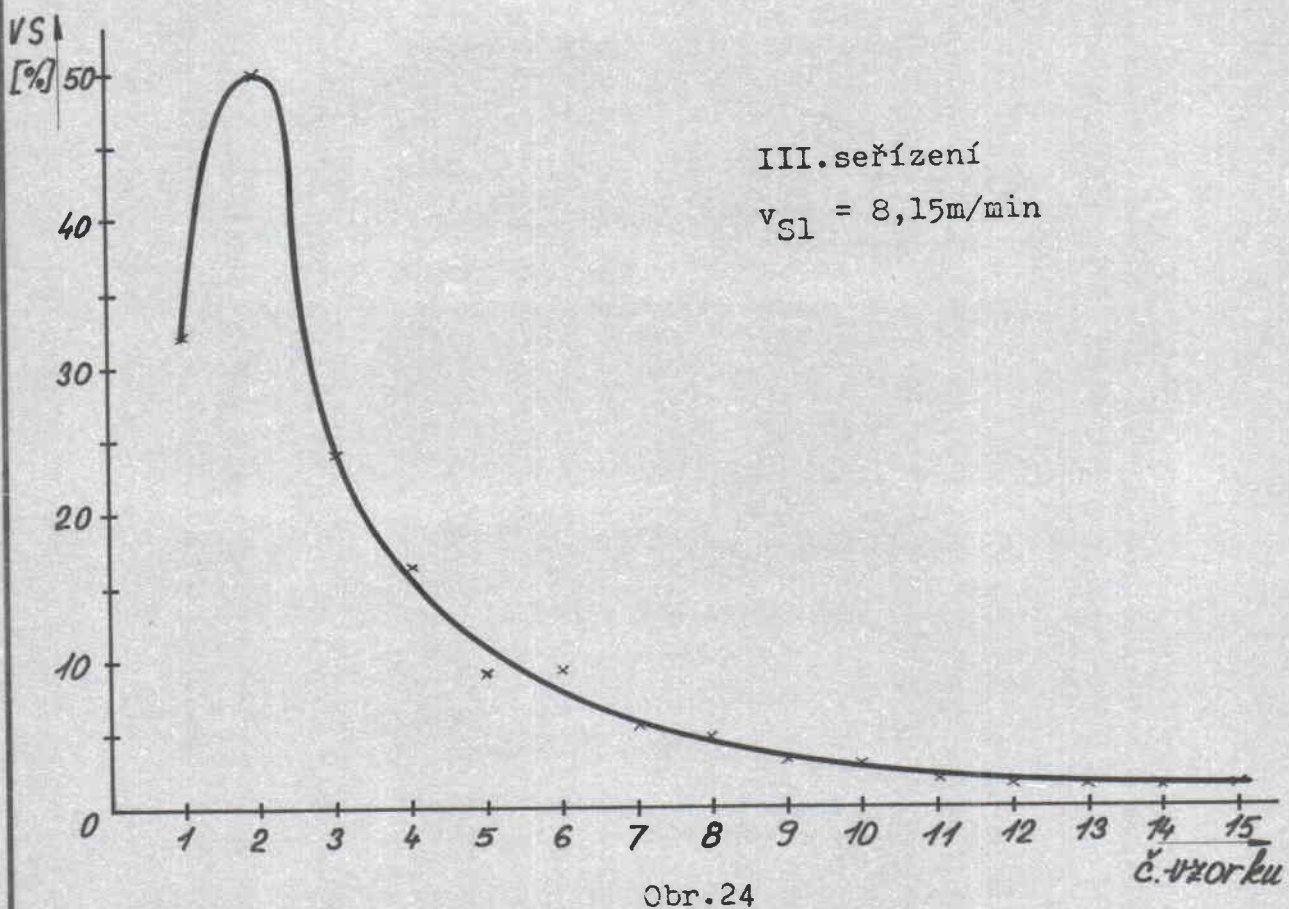
III. seřízení

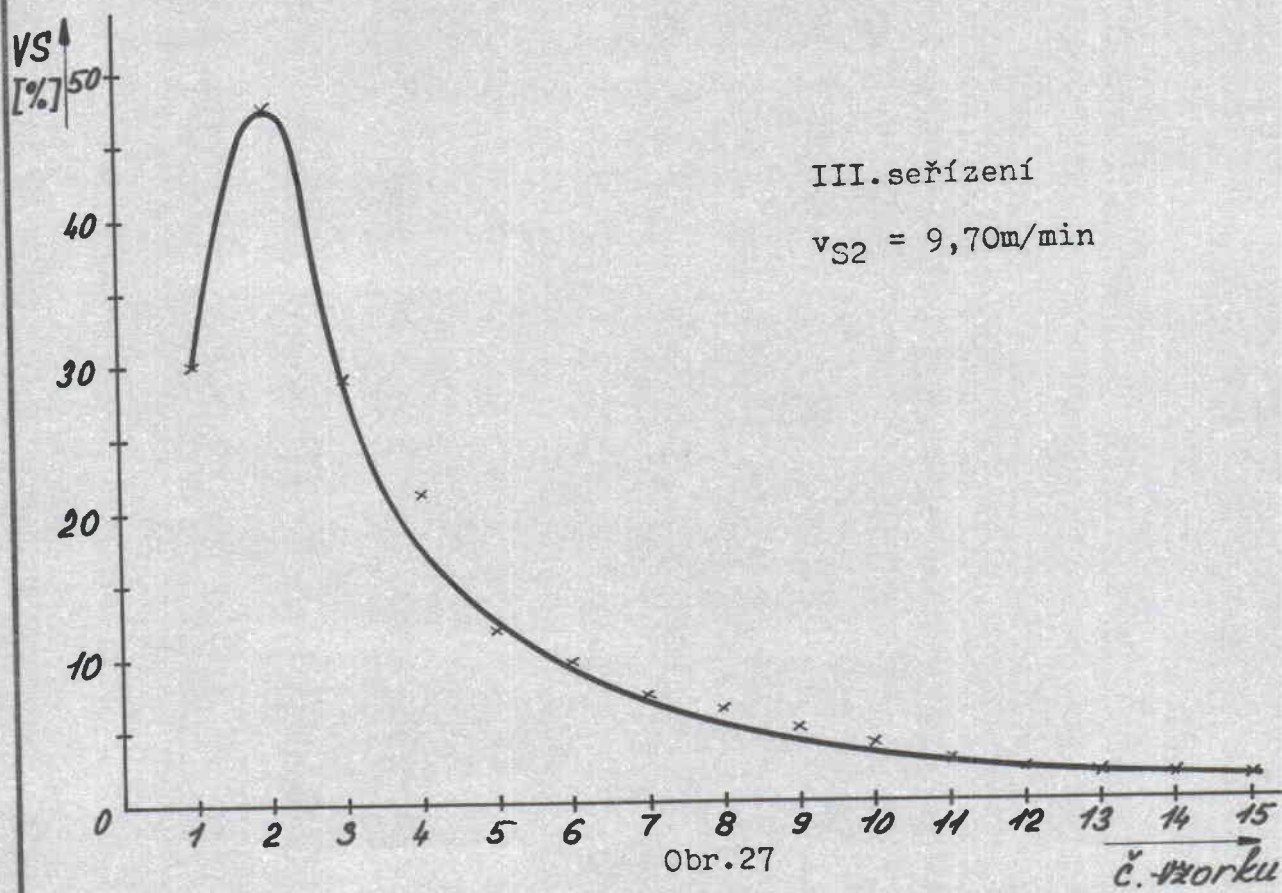
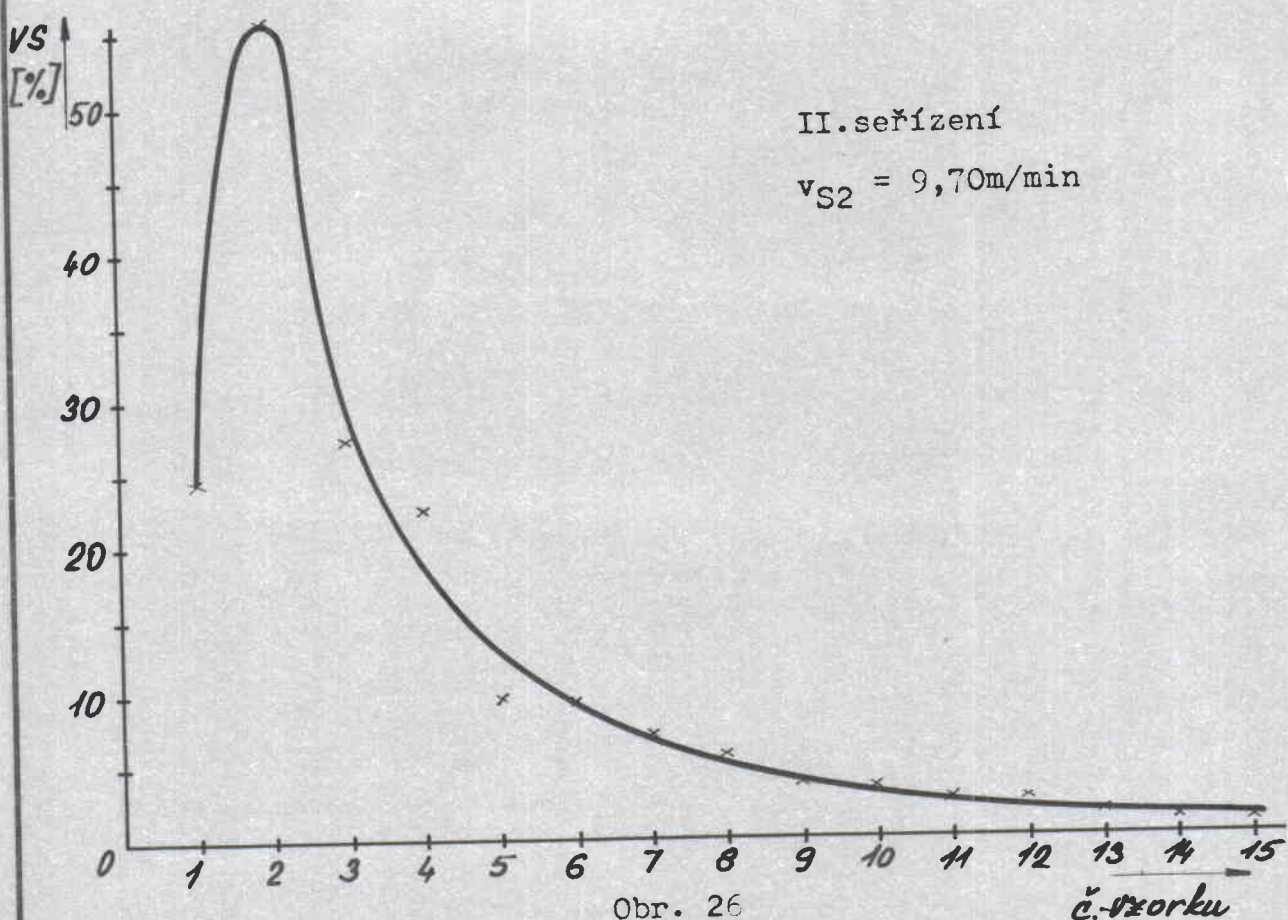
$$v_{S3} = 10,0 \text{ m/min}$$

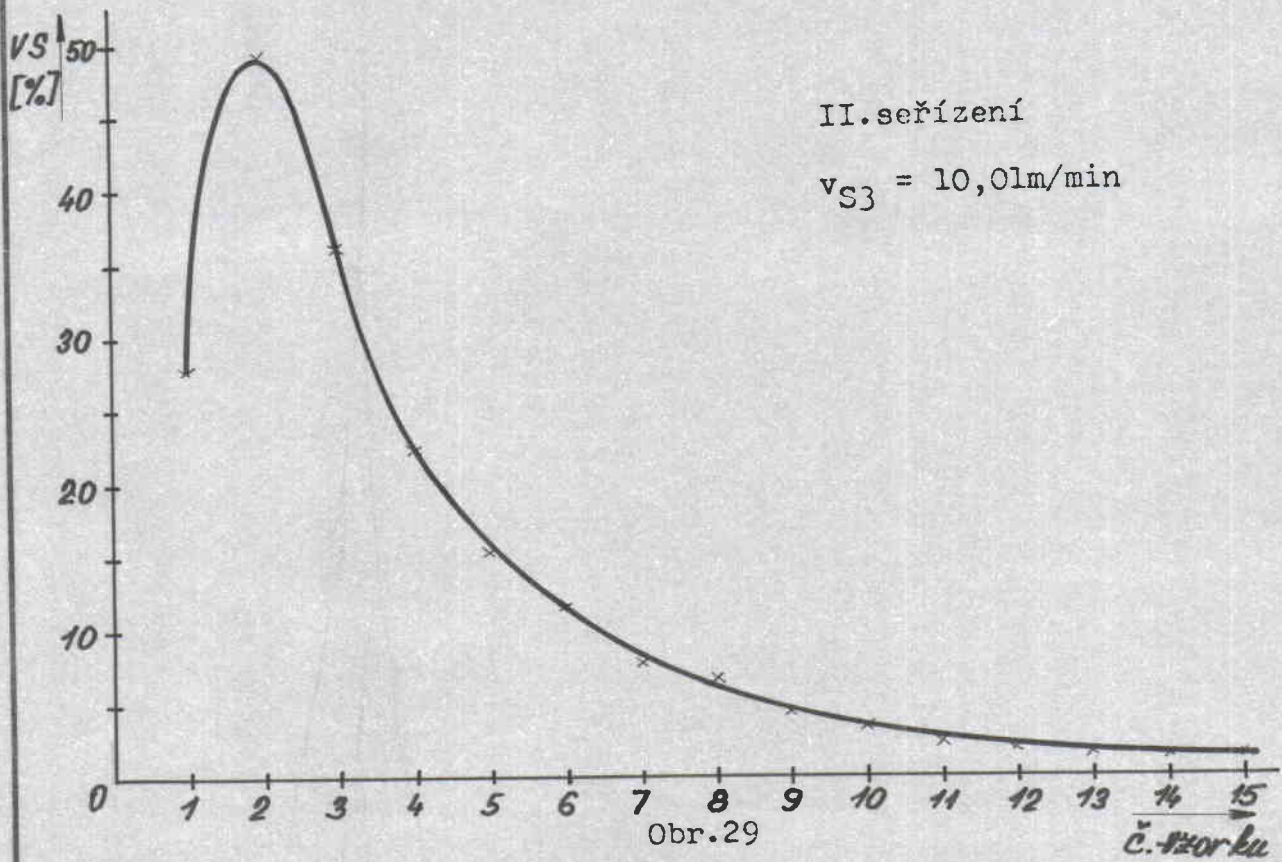
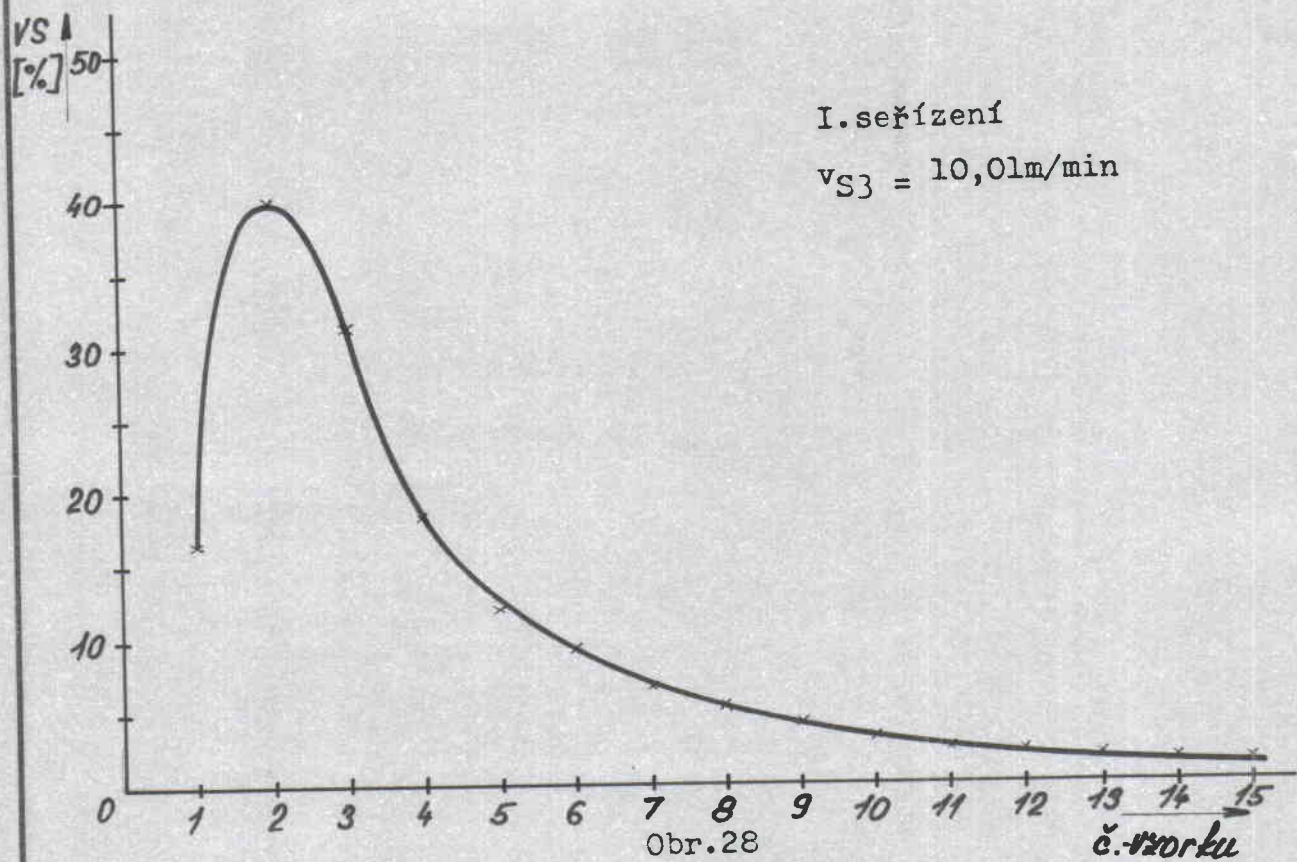
č.	původní váha vzorku [g]	váha VS vláken G [g]	% VS vláken
1	2,7877	0,6893	25,4682
2	2,7500	1,3808	51,7172
3	2,2090	0,6123	28,5439
4	2,4828	0,5867	24,3395
5	2,5324	0,4016	16,3337
6	2,8645	0,2959	10,6398
7	2,7256	0,2609	7,8187
8	2,5224	0,1557	6,3578
9	2,6552	0,1219	4,1976
10	2,9916	0,0938	3,2294
11	2,8010	0,0809	2,9763
12	2,6707	0,0580	2,2368
13	2,6535	0,0449	1,7427
14	2,8249	0,0497	1,8126
15	2,9657	0,0488	1,6948

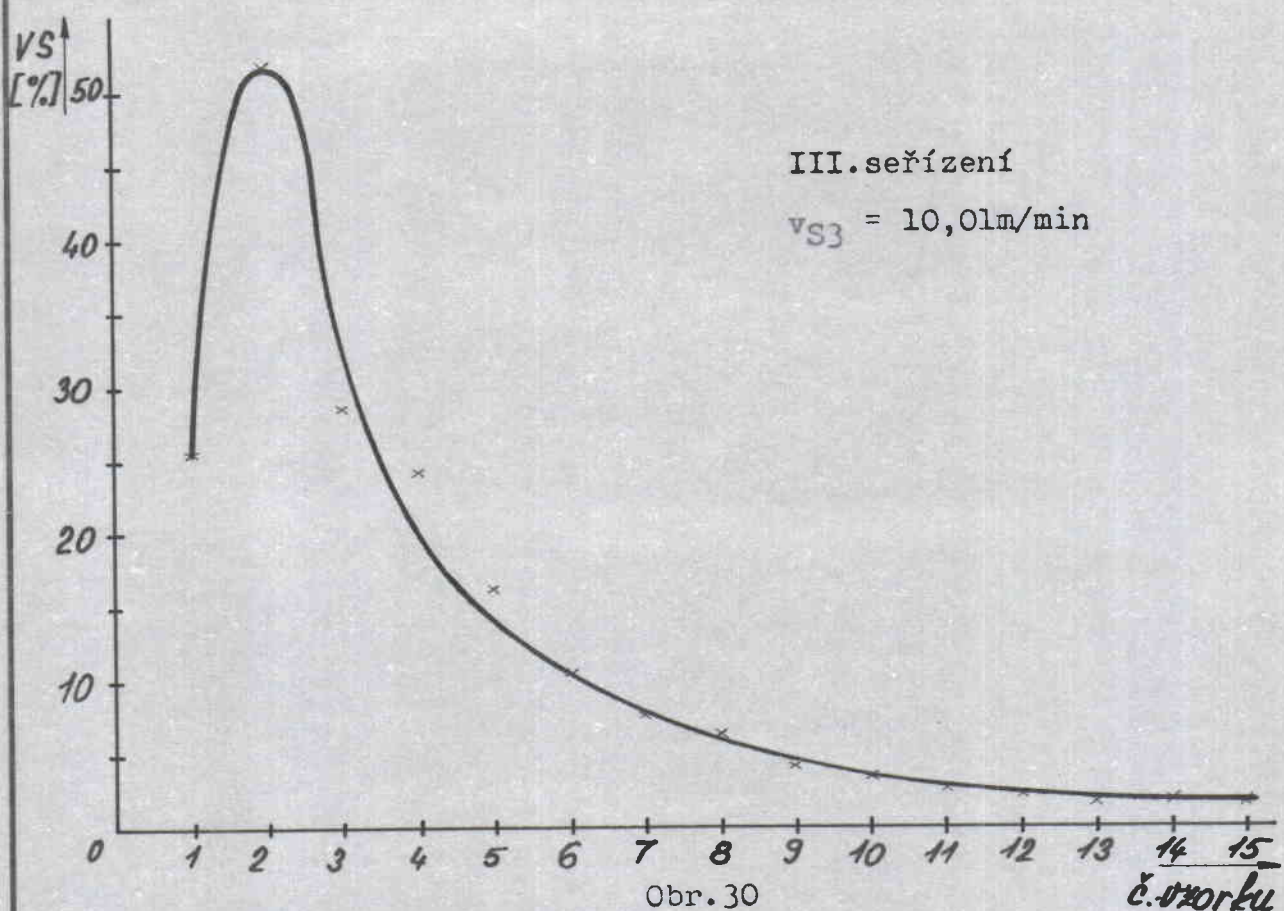
Tabulka 12











$\frac{x}{s}$	$v_{S1} = 8,15 \text{ m/min}$	$v_{S2} = 9,70 \text{ m/min}$	$v_{S3} = 10,01 \text{ m/min}$
t_0	3,9820	3,3010	3,1920
t_1	4,9011	4,0749	3,9405
t_2	6,7393	5,6227	5,4375
t_3	8,5775	7,1705	6,9345
t_4	10,4157	8,7183	8,4315
t_5	12,2539	10,2661	9,9285
t_6	14,0921	11,8139	11,4255
t_7	15,9303	13,3617	12,9225
t_8	17,7685	14,9095	14,4195
t_9	19,6067	16,4573	15,9165
t_{10}	21,4449	18,0051	17,4135
t_{11}	23,2831	19,5529	18,9105
t_{12}	25,1213	21,1007	20,4075
t_{13}	26,9595	22,6485	21,9045
t_{14}	28,7977	24,1963	23,4015
t_{15}	30,6359	25,7441	24,8985

Tabulka 14